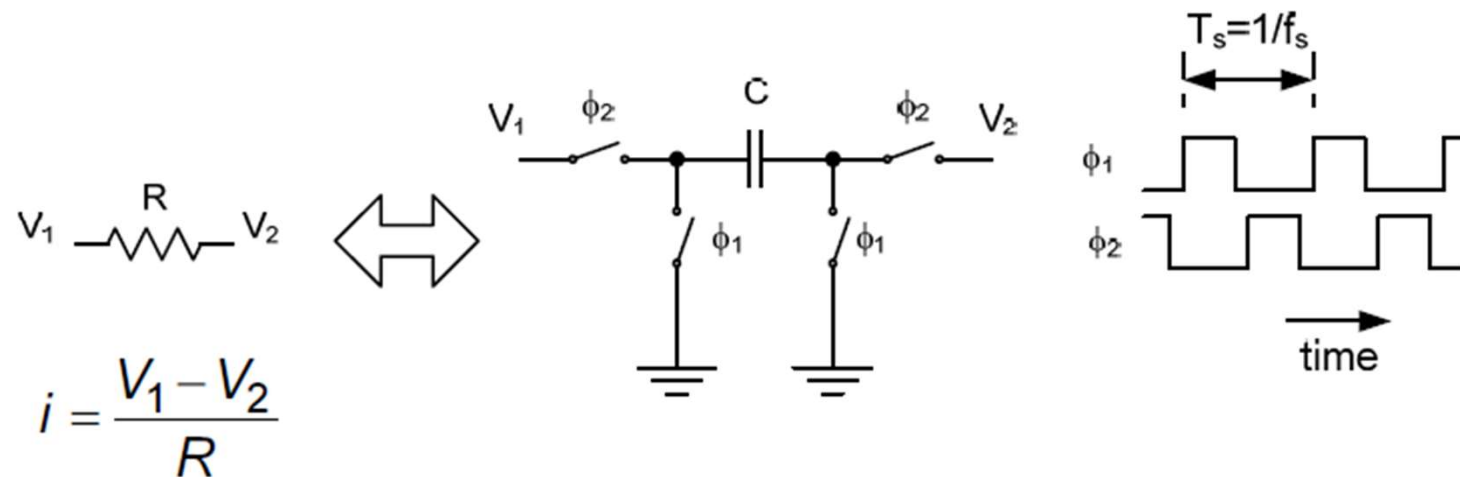


OTA za SC kola

Radivoje Đurić, 2020, Analogna integrisana kola

Emuliranje otpornosti u SC kolima



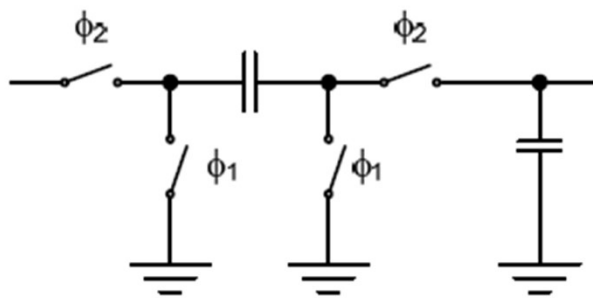
- Kada su uključeni prekidači ϕ_1 kondenzator je ispraznjen
- Kada su uključeni prekidači ϕ_2 kondenzator je napunjen, a napon na njemu je $V_1 - V_2$
- Promena nanelektrisanja na kondenzatoru je

$$\Delta q = C(V_1 - V_2)$$

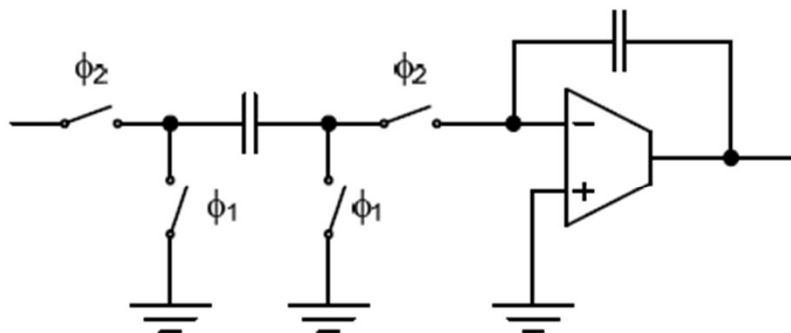
- Srednja struja između porta 1 i 2 je

$$i_{avg} = \frac{\Delta q}{\Delta t} = \frac{\Delta q}{T_s} = f_s C(V_1 - V_2)$$

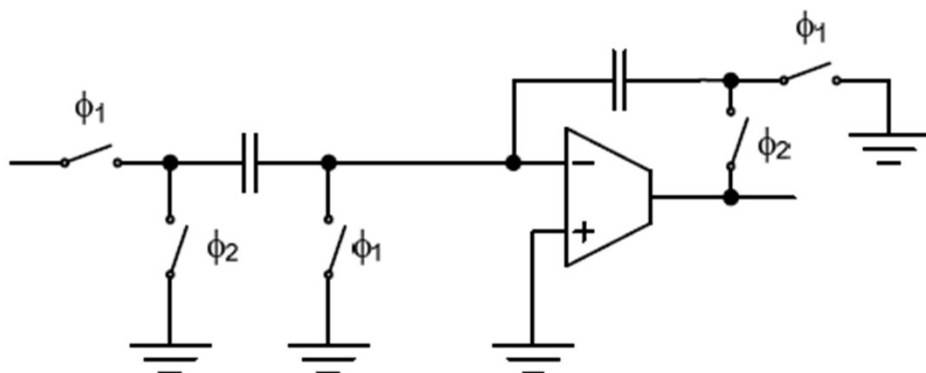
$$i_{avg} = \frac{V_1 - V_2}{R_{avg}} \Rightarrow R_{avg} = \frac{1}{f_s C}$$



- Pasivni SC LP

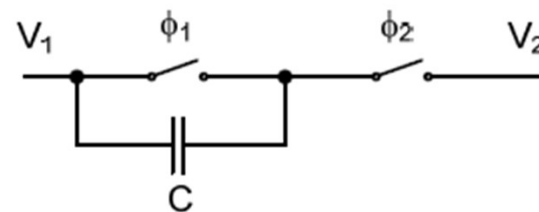
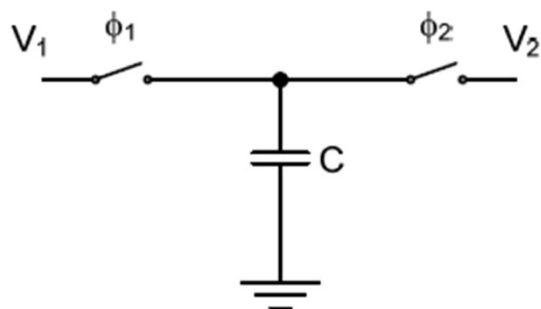


- Aktivni SC LP



- SC pojačavač

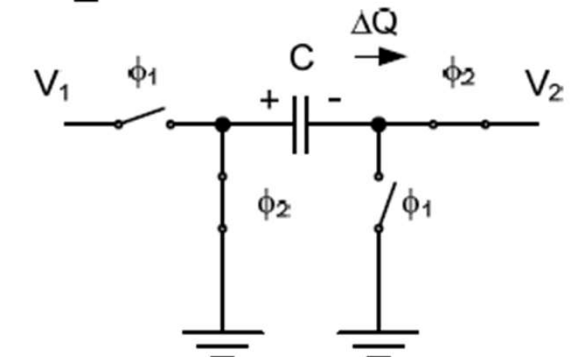
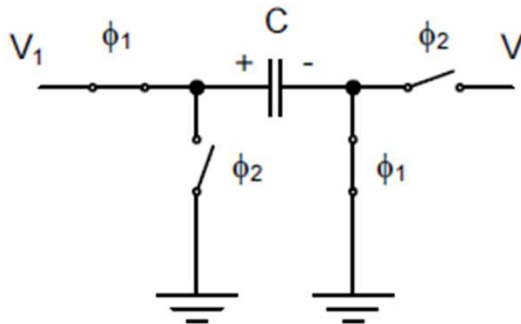
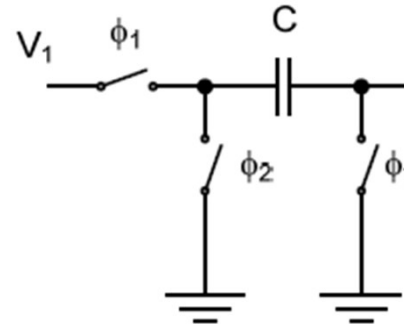
- CMOS tehnologija ima lako upravljive prekidače i relativno precizne i velike kapacitivnosti
- SC filtri imaju više prednosti u odnosu na RC filtre:
 - ✓ Prenosne funkcije se podešavaju odnosom kapacitivnosti
 - ✓ Granične učestanosti se podešavaju izborom prekidačke učestanosti
 - ✓ Mogu se generisati velike vremenske konstante bez korišćenja velikih otpornosti. Na primer za LP filter čiji je propusni opseg 100Hz potreban je otpornik $R=16M\Omega$ i kapacitivnost $C=100pF$. U SC LP filteru sa istim propusnim opsegom potrebne su dve kapacitivnosti $C_1=6.25pF$ i $C_2=100pF$
- Na otpornost R_{avg} utiču parazitne kapacitivnosti



$$R_{avg} = \frac{1}{f_s C}$$

$$R_{avg} = \frac{1}{f_s C}$$

- Invertujuće konfiguracije



Φ1:

$$q_1 = CV_1$$

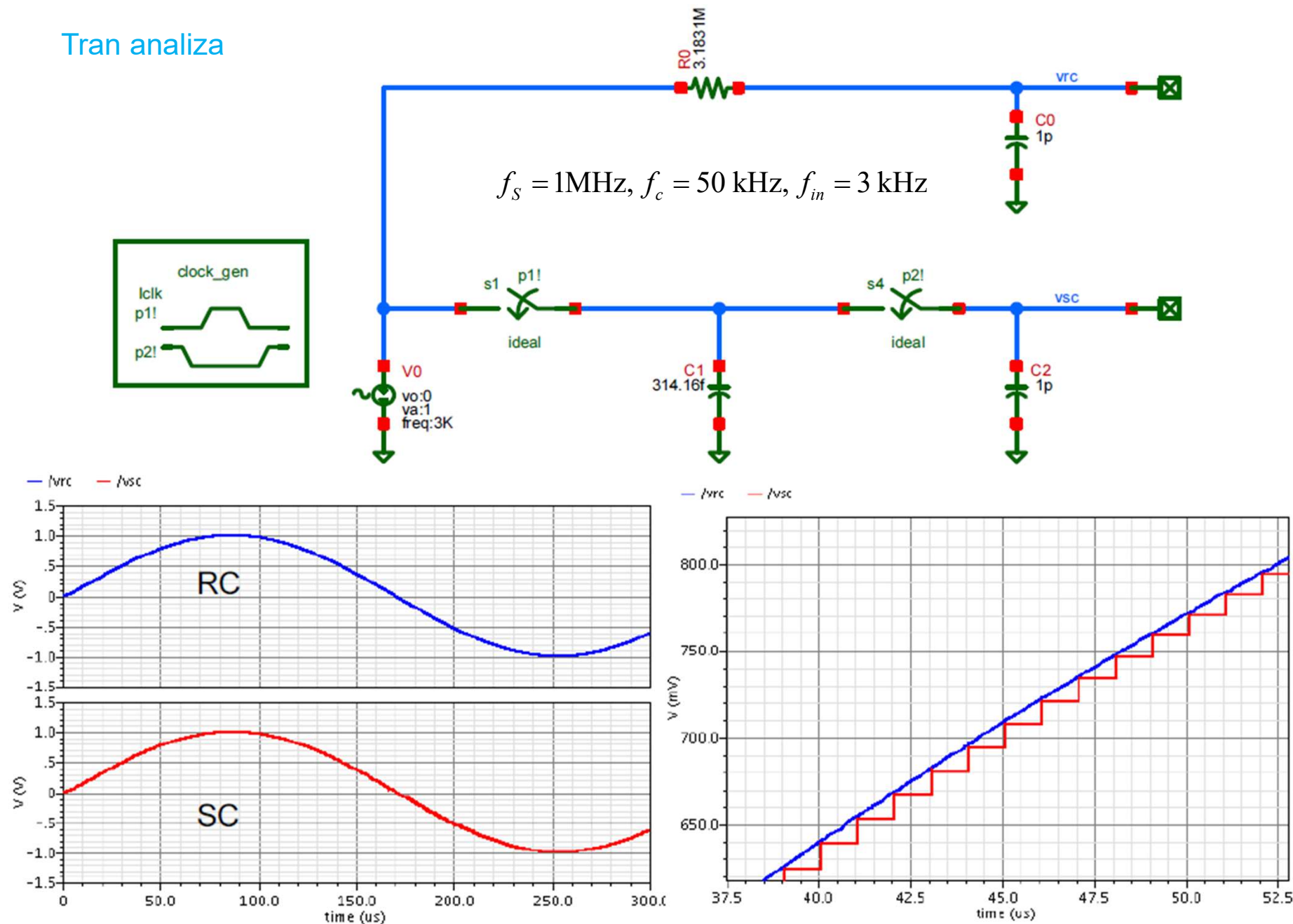
Φ2:

$$q_2 = -CV_2$$

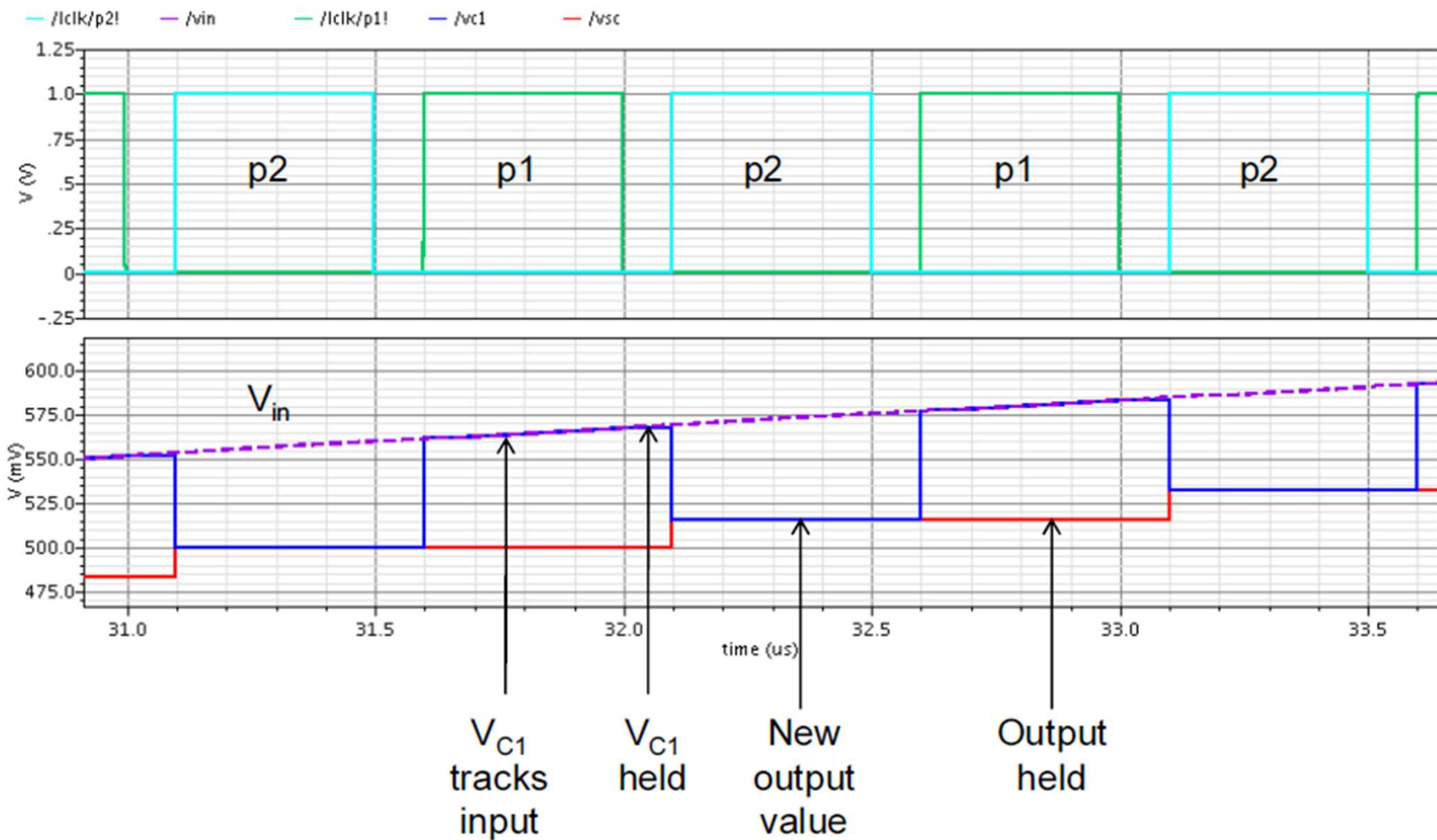
$$\Delta q = -CV_2 - CV_1 = -C(V_1 + V_2) \Rightarrow i_{avg} = -Cf_s(V_1 + V_2)$$

Invertuje se ulazni napon

Tran analiza

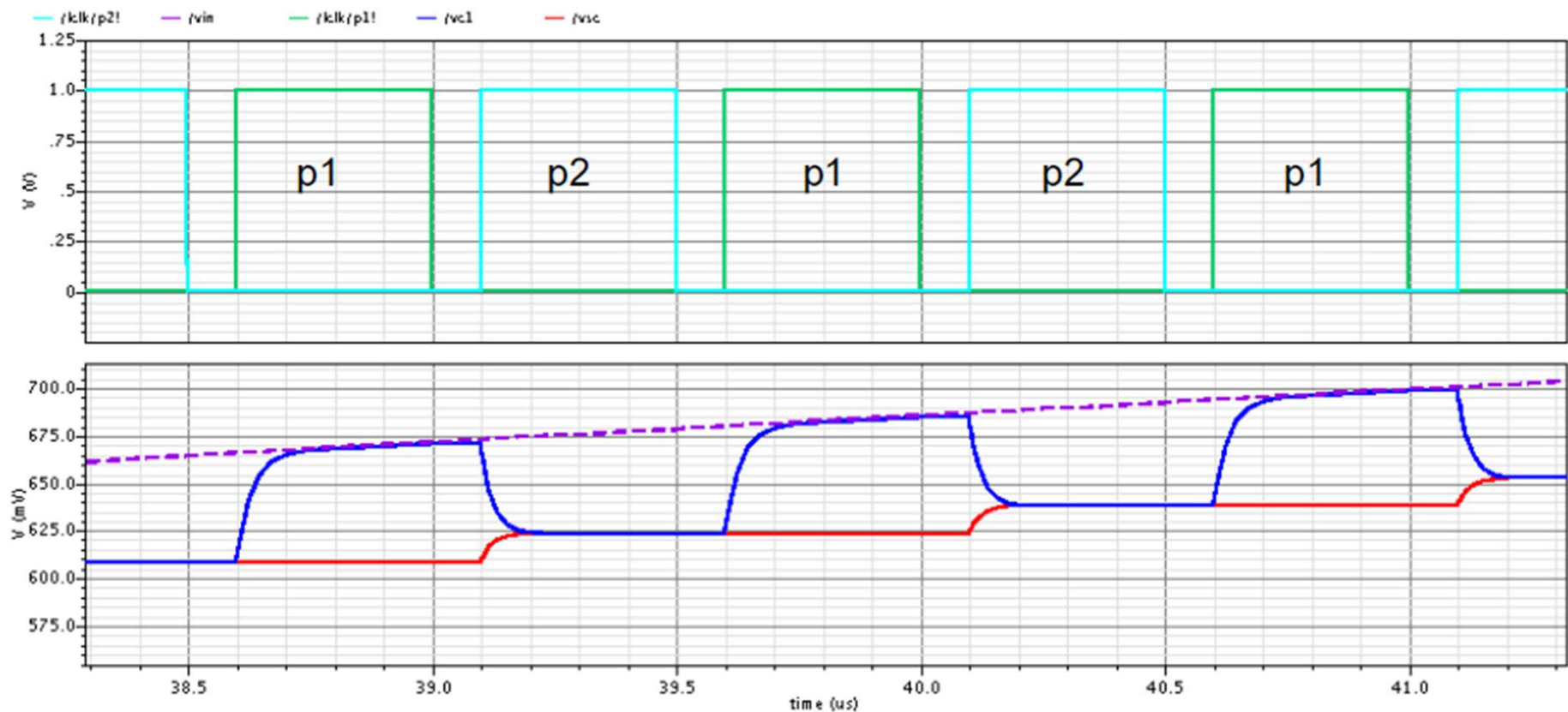


$$R_{on} \approx 0$$

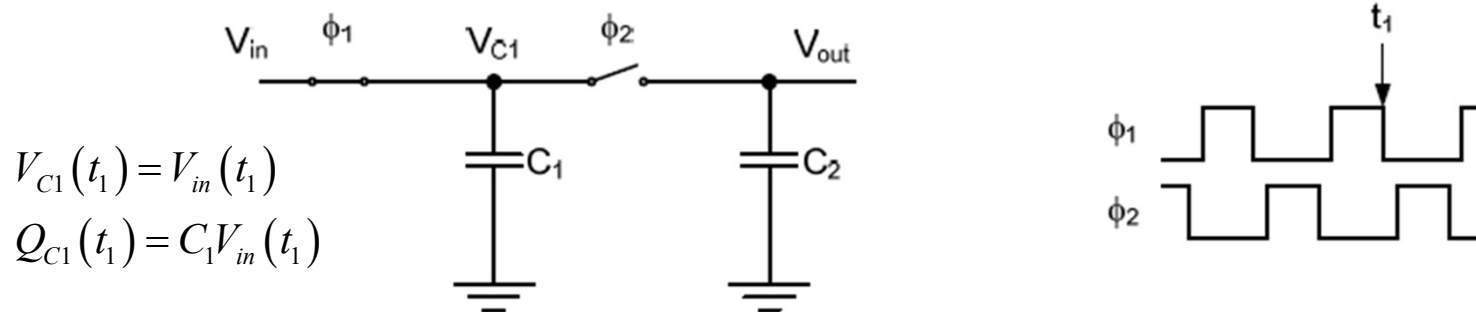


$$R_{on} \neq 0$$

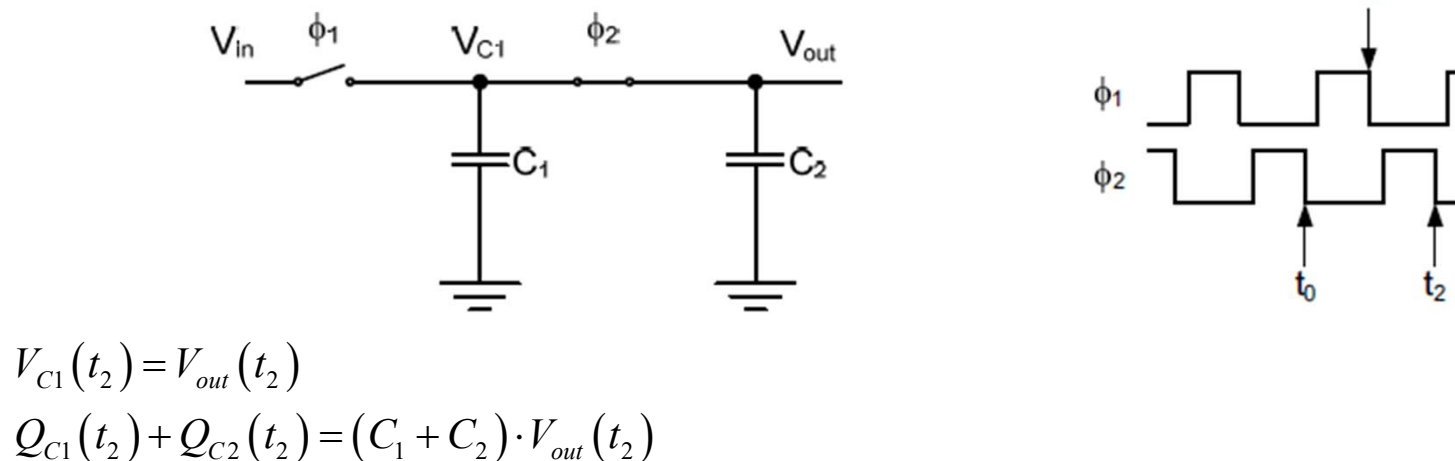
Transient Response



- U toku faze Φ_1 napon V_{C1} prati V_{in}



- U toku faze Φ_2 napon V_{C1} i izlazni napon V_{out} se izjednačavaju



- Suma naelektrisanja mora biti jednaka sumi naelektrisanja koja su prethodno bila u kondenzatorima C_1 i C_2 pre nego što se uključi $\Phi 2$

$$Q_{C1}(t_2) + Q_{C2}(t_2) = Q_{C1}(t_1) + Q_{C2}(t_0)$$

$$(C_1 + C_2) \cdot V_{out}(t_2) = C_1 V_{in}(t_1) + C_2 V_{out}(t_0)$$

$$\Rightarrow V_{out}(t_2) = \frac{C_1}{C_1 + C_2} V_{in}(t_1) + \frac{C_2}{C_1 + C_2} V_{out}(t_0)$$

$$\Rightarrow V_{out}(t_2) = \frac{C_1}{C_1 + C_2} V_{in}\left(t_2 - \frac{T_s}{2}\right) + \frac{C_2}{C_1 + C_2} V_{out}(t_2 - T_s)$$

- Laplaceova transformacija

$$V(t) \rightarrow V(s)$$

$$V(t - \Delta t) \rightarrow V(s) e^{-s\Delta t}$$

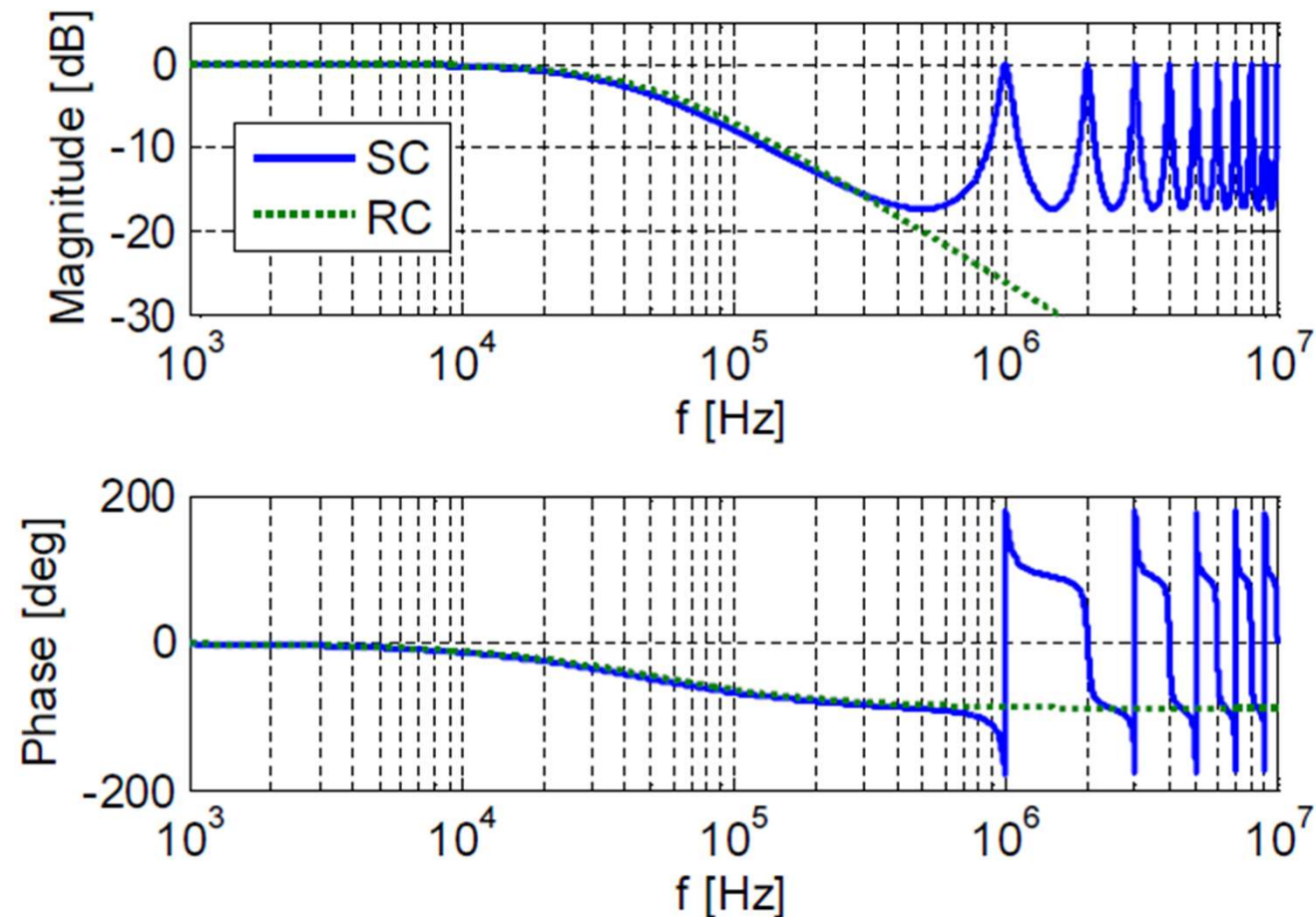
$$\Rightarrow V_{out}(s) = \frac{C_1}{C_1 + C_2} V_{in}(s) e^{-s\frac{T_s}{2}} + \frac{C_2}{C_1 + C_2} V_{out}(s) e^{-sT_s}$$

$$\Rightarrow V_{out}(s) \left(1 - \frac{C_2}{C_1 + C_2} e^{-sT_s}\right) = \frac{C_1}{C_1 + C_2} V_{in}(s) e^{-s\frac{T_s}{2}}$$

$$\Rightarrow H(s) = \frac{V_{out}(s)}{V_{in}(s)} = \frac{e^{-s\frac{T_s}{2}}}{1 + \frac{C_2}{C_1} \left(1 - e^{-sT_s}\right)}$$

- Frekventni odziv

$$f_s = 1\text{MHz}, f_c = 50\text{ kHz}$$



Iste funkcije prenosa pri $f \ll f_s$

$$\Rightarrow H(j\omega) = \frac{V_{out}(j\omega)}{V_{in}(j\omega)} = \frac{e^{-j\omega \frac{T_s}{2}}}{1 + \frac{C_2}{C_1} (1 - e^{-j\omega T_s})}$$

$$\omega T_s = 2\pi \frac{f}{f_s} \Rightarrow H(j\omega) = \frac{e^{-j\pi \frac{f}{f_s}}}{1 + \frac{C_2}{C_1} \left(1 - e^{-j2\pi \frac{f}{f_s}}\right)}$$

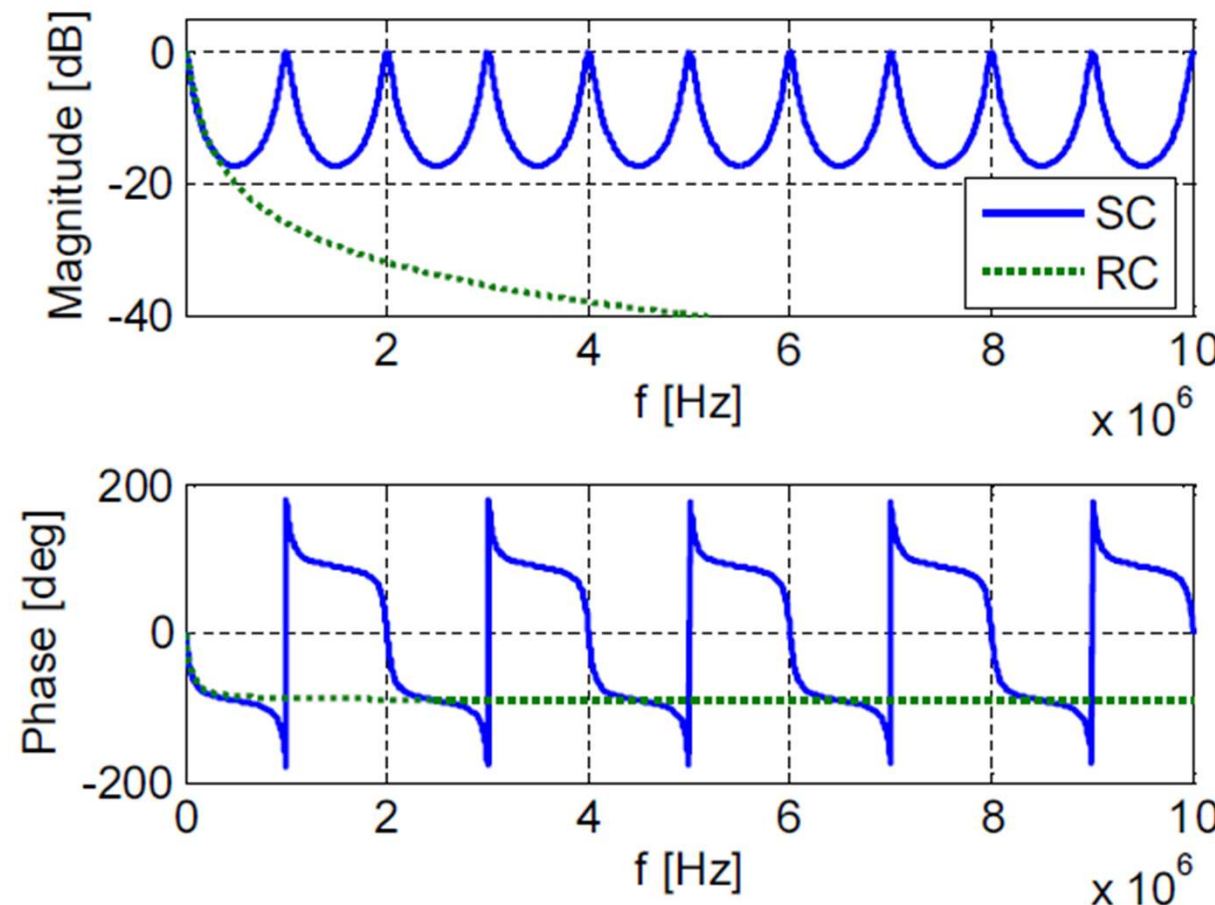
Aproksimacija:

$$e^{jx} \Big|_{x \rightarrow 0} = \cos(x) + j \sin(x) \approx 1 + jx$$

$$\Rightarrow H(j\omega) \approx \frac{1 - j\pi \frac{f}{f_s}}{1 + \frac{C_2}{C_1} \left(1 - \left(1 - j2\pi \frac{f}{f_s}\right)\right)} = \frac{1 - j\pi \frac{f}{f_s}}{1 + j2\pi f \frac{C_2}{C_1} \frac{1}{f_s}} = \frac{1 - j\pi \frac{f}{f_s}}{1 + j2\pi f \frac{C_2}{R_{avg}}}, R_{avg} = \frac{1}{C_1 f_s}$$

$$H(j\omega) \approx \frac{1 + j \frac{\omega}{\omega_z}}{1 + j \frac{\omega}{\omega_p}} \approx \frac{1}{1 + j \frac{\omega}{\omega_p}}, \omega_p = \frac{1}{C_2 R_{avg}}, \omega_z = -2f_s$$

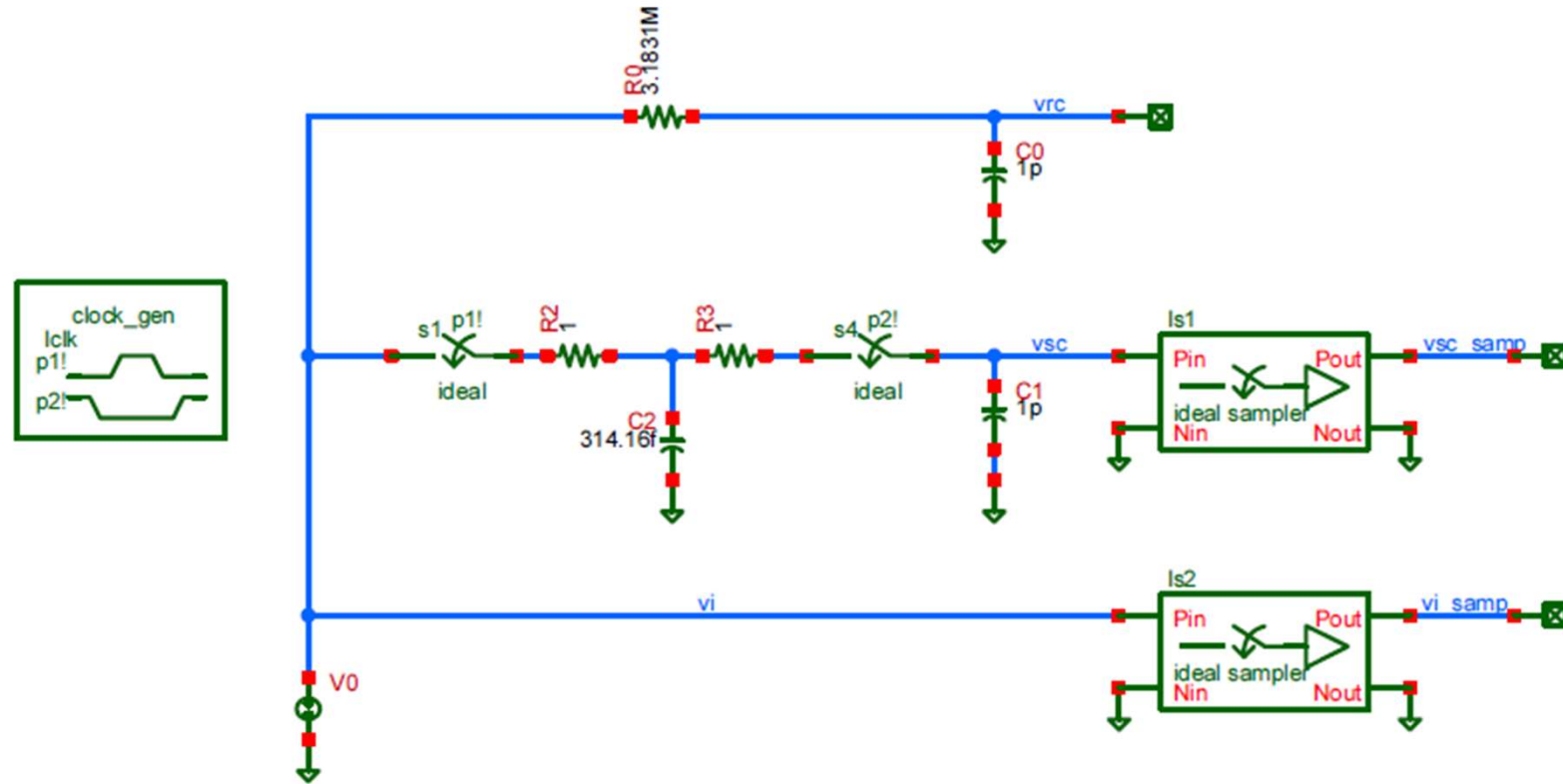
- Funkcija prenosa je periodična sa periodom f_s

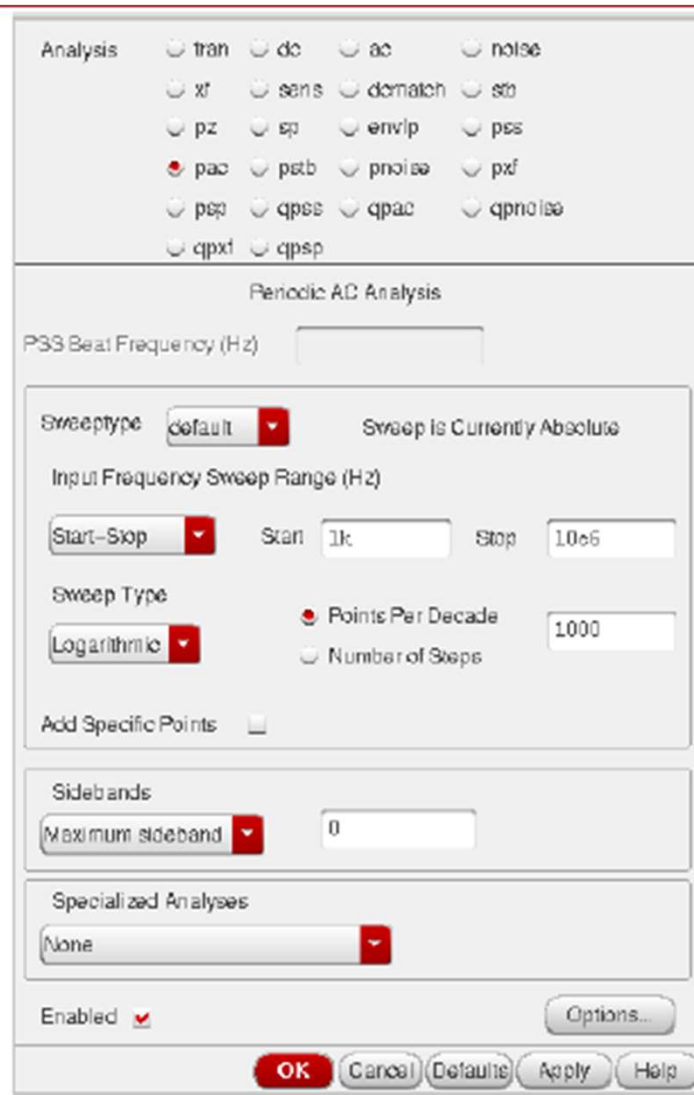
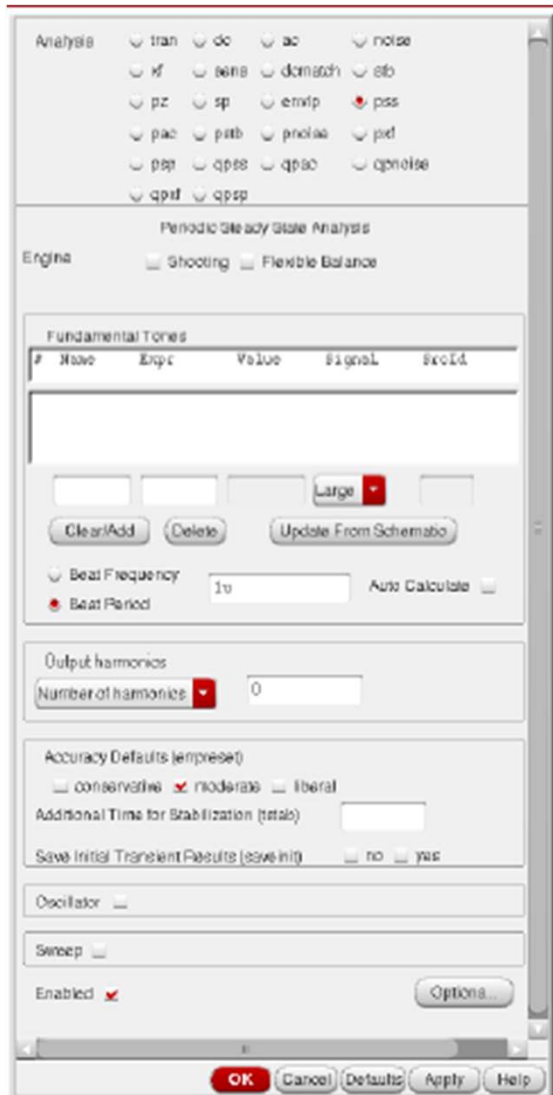


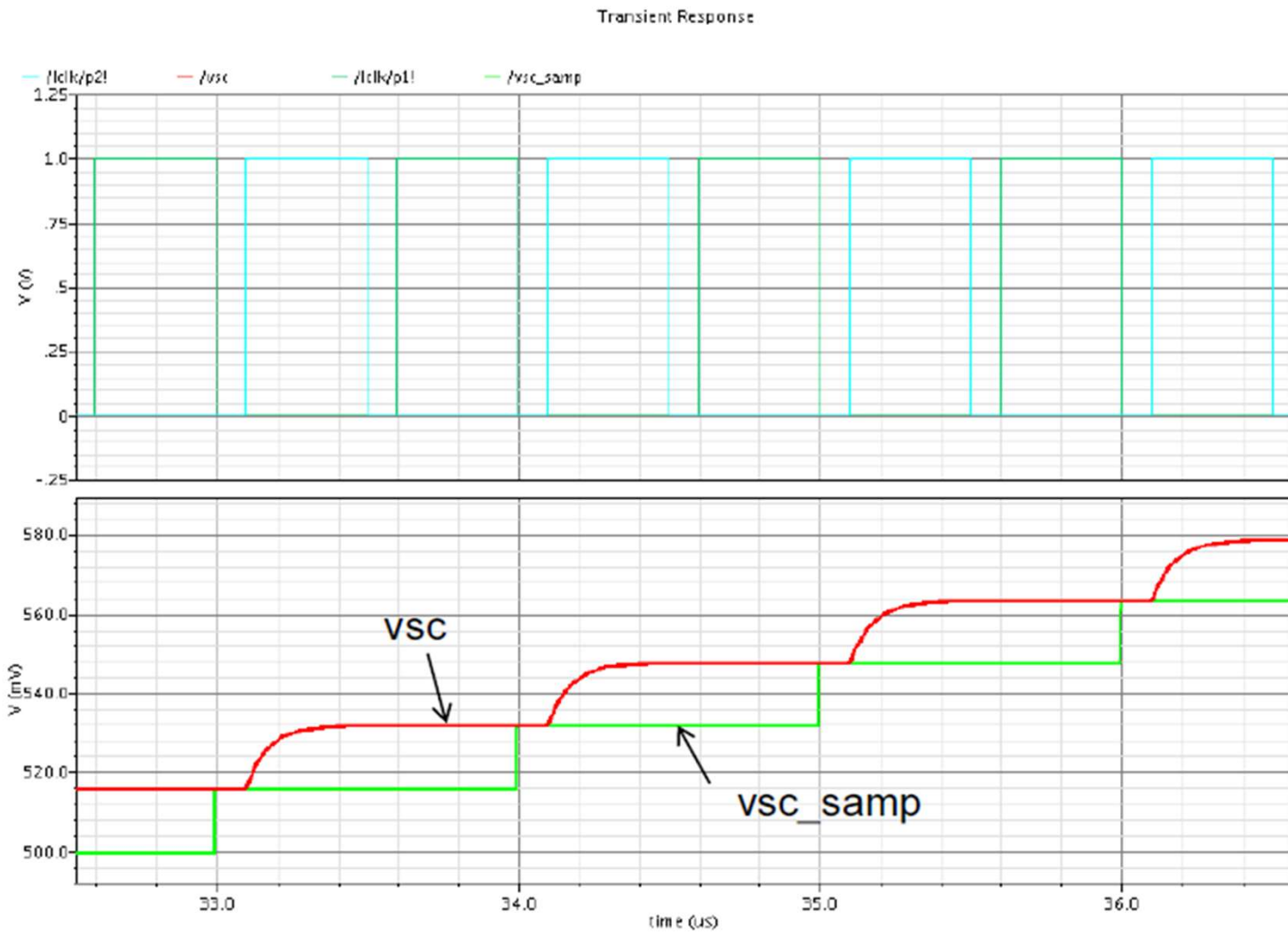
Osa učestanosti se menja linearno!

Simulacija?

SpectreRF, PSS, PAC

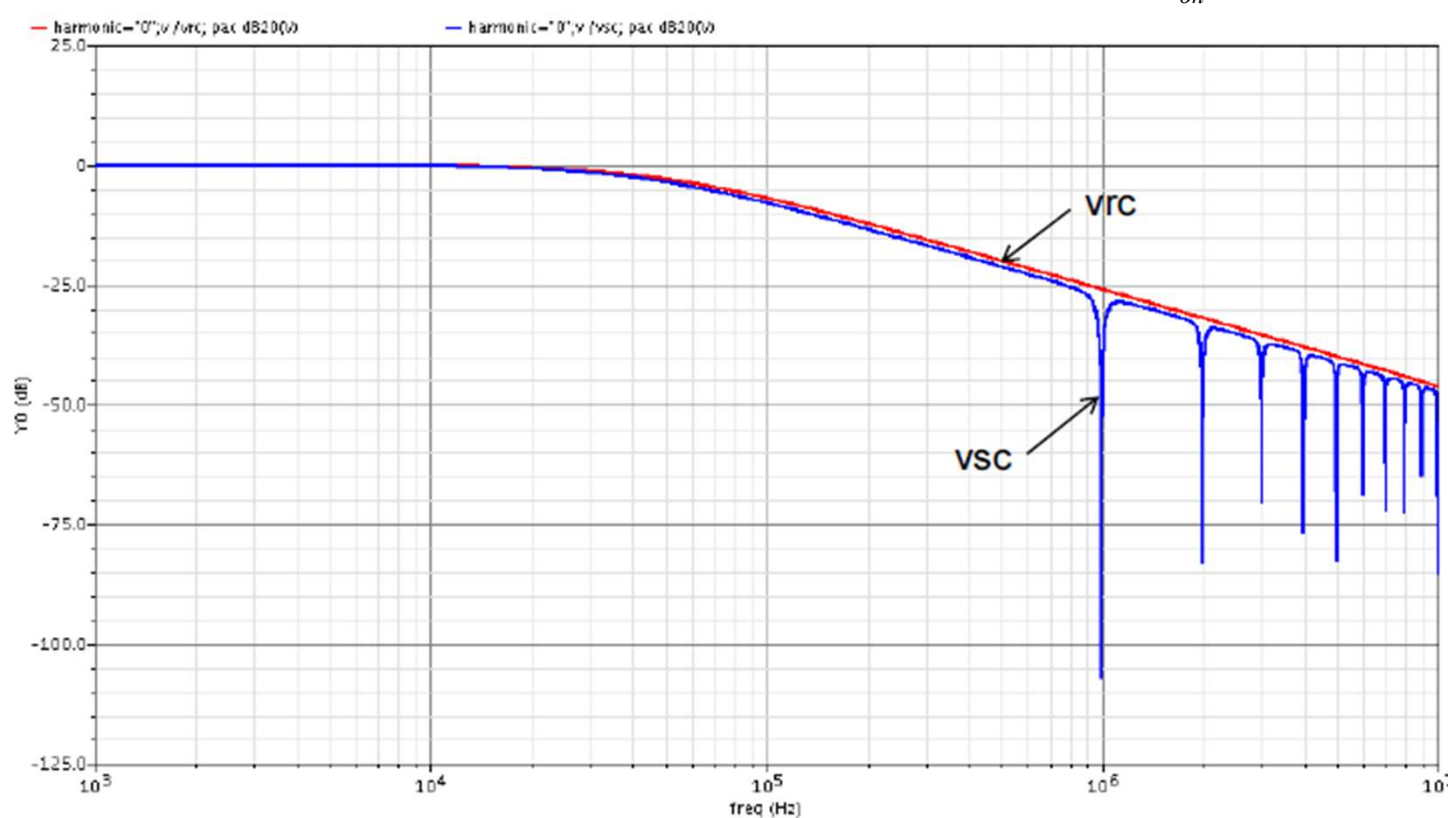




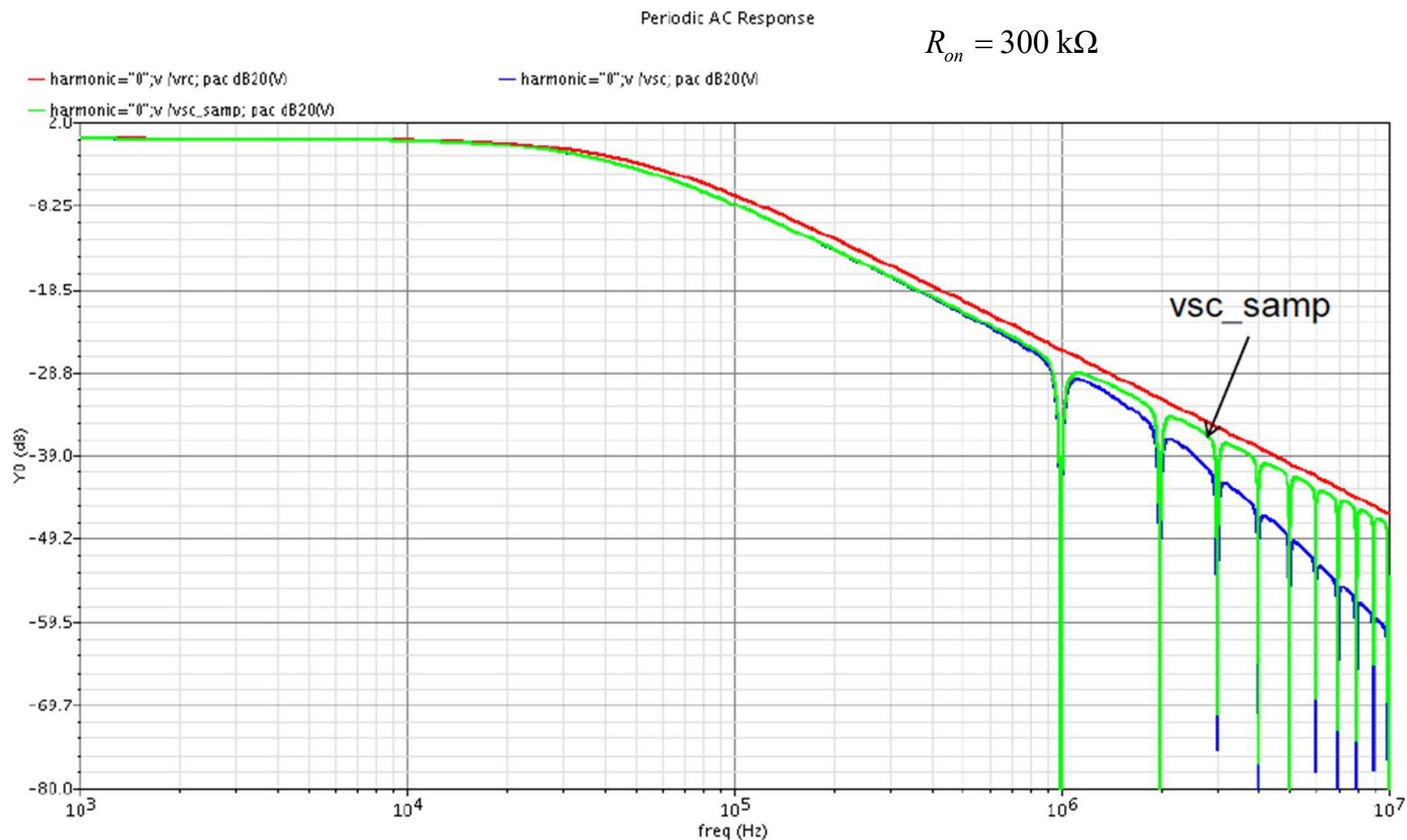


Periodic AC Response

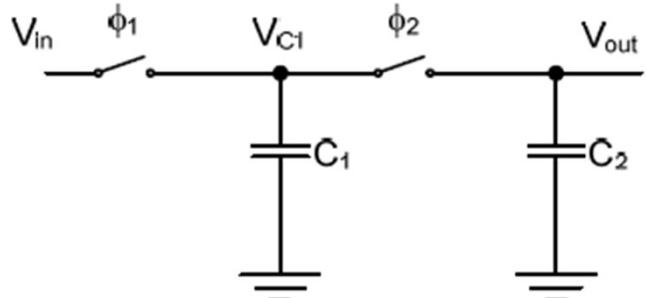
$$R_{on} = 1 \Omega$$



Funkcija prenosa u propusnom opsegu vrlo malo zavisi od otpornosti prekidača!



Jednostavni SC filter u z-domenu



$$H(s) = \frac{V_{out}(s)}{V_{in}(s)} = \frac{e^{-\frac{T_s}{2}}}{1 + \frac{C_2}{C_1} (1 - e^{-sT_s})}$$

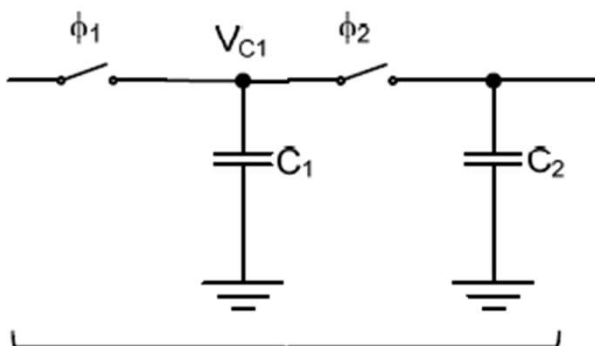
$$z = e^{sT_s} \Rightarrow H(z) = \frac{V_{out}(z)}{V_{in}(z)} = \frac{z^{-\frac{1}{2}}}{1 + \frac{C_2}{C_1} (1 - z^{-1})}$$

Šum u pasivnom LP SC filtru

Ekvivalentni model za $\Phi 1$ šum

$$\frac{\overline{v_{in,1}^2}}{\Delta f} = \frac{2}{f_s} \frac{kT}{C_1}$$

$$\overline{v_{in,1}^2} = \frac{kT}{C_1}$$



$$\frac{\overline{v_{out,1}^2}}{\Delta f} = \frac{\overline{v_{in,1}^2}}{\Delta f} |H(e^{j\omega T_s})|^2$$

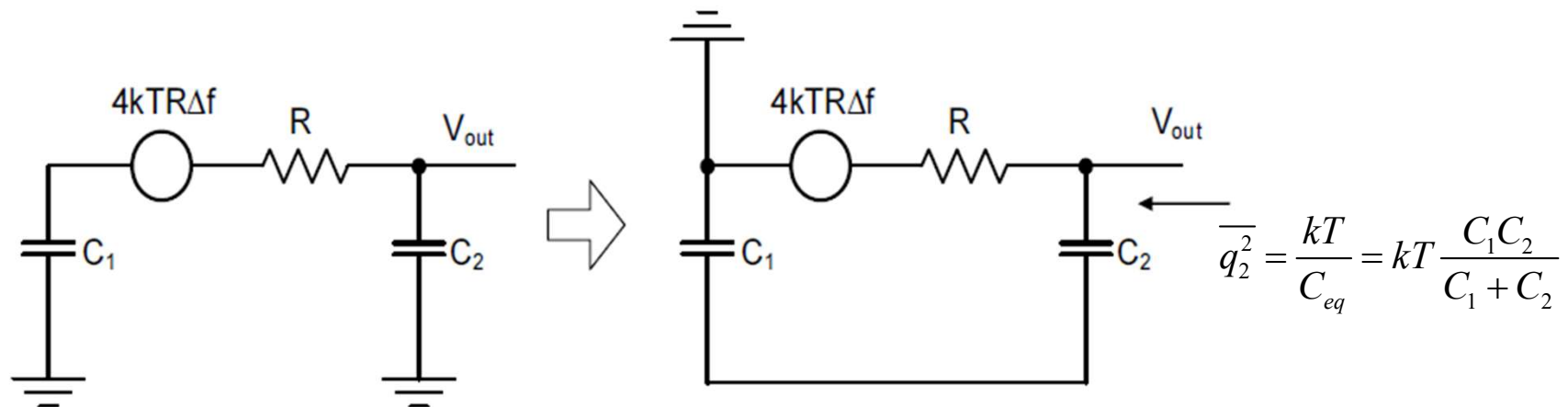
$$\overline{v_{out,1}^2} = ?$$

$$\int_0^{1/2} \left| \frac{1}{1+k(1-e^{-j2\pi f})} \right|^2 df = \frac{1}{2} \frac{1}{1+2k}$$

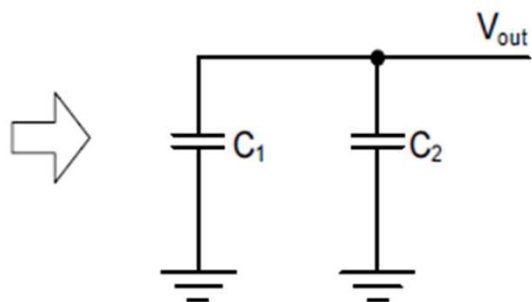
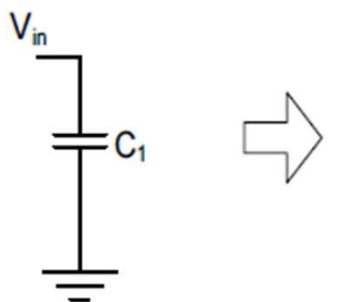
$$\overline{v_{out,1}^2} = \int_0^{f_s/2} \frac{2}{f_s} \frac{kT}{C_1} \left| \frac{e^{-j\frac{\pi f}{f_s}}}{1 + \frac{C_2}{C_1} \left(1 - e^{-j\frac{2\pi f}{f_s}} \right)} \right|^2 df = \frac{2}{f_s} \frac{kT}{C_1} \frac{f_s}{2} \frac{1}{1 + 2 \frac{C_2}{C_1}}$$

$$\overline{v_{out,1}^2} = \frac{kT}{C_1} \frac{1}{1 + 2 \frac{C_2}{C_1}} = \frac{1}{2} \frac{kT}{C_2} \frac{1}{1 + \frac{C_1}{2C_2}} < \frac{1}{2} \frac{kT}{C_2}$$

Ekvivalentni model za $\Phi 2$ šum



- Da bi izlazni šum preslikali u ekvivalentni šum na ulazu treba da znamo funkciju charge transfera



$$V_{out} = V_{in} \frac{C_1}{C_1 + C_2}, q_2 = V_{in} \frac{C_1 C_2}{C_1 + C_2}$$

$$\Rightarrow V_{in} = \frac{C_1 + C_2}{C_1 C_2} q_2$$

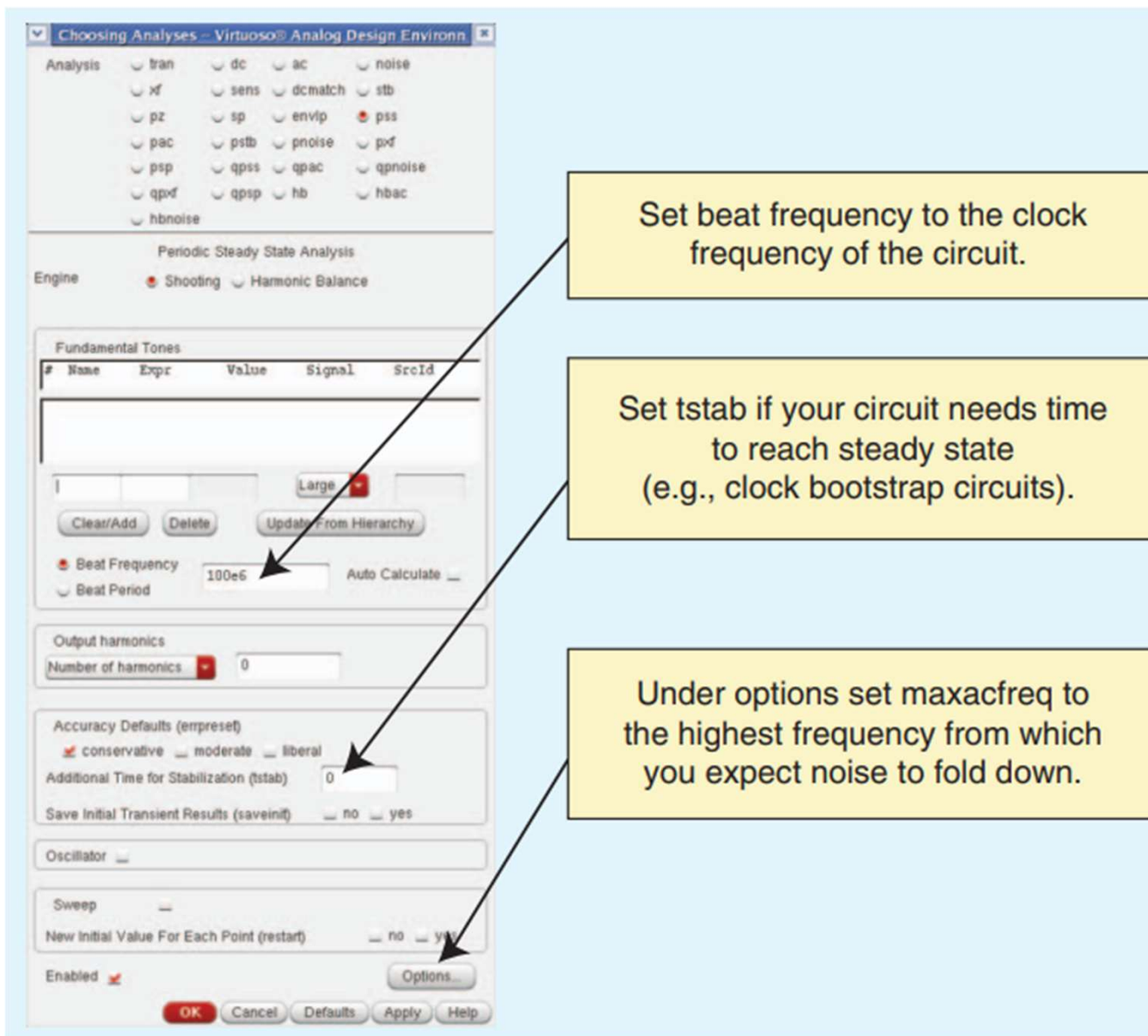
$$\overline{v_{in,2}^2} = \overline{q_2^2} \left(\frac{C_1 + C_2}{C_1 C_2} \right)^2 = kT \frac{C_1 C_2}{C_1 + C_2} \left(\frac{C_1 + C_2}{C_1 C_2} \right)^2 = \frac{kT}{C_1} \frac{C_1 + C_2}{C_2}$$

$$\overline{v_{out,2}^2} = \frac{kT}{C_1} \frac{C_1 + C_2}{C_2} \frac{1}{1 + 2 \frac{C_2}{C_1}} = \frac{1}{2} \frac{kT}{C_2} \frac{C_1 + C_2}{C_2 + \frac{C_1}{2}} < \frac{1}{2} \frac{kT}{C_2}$$

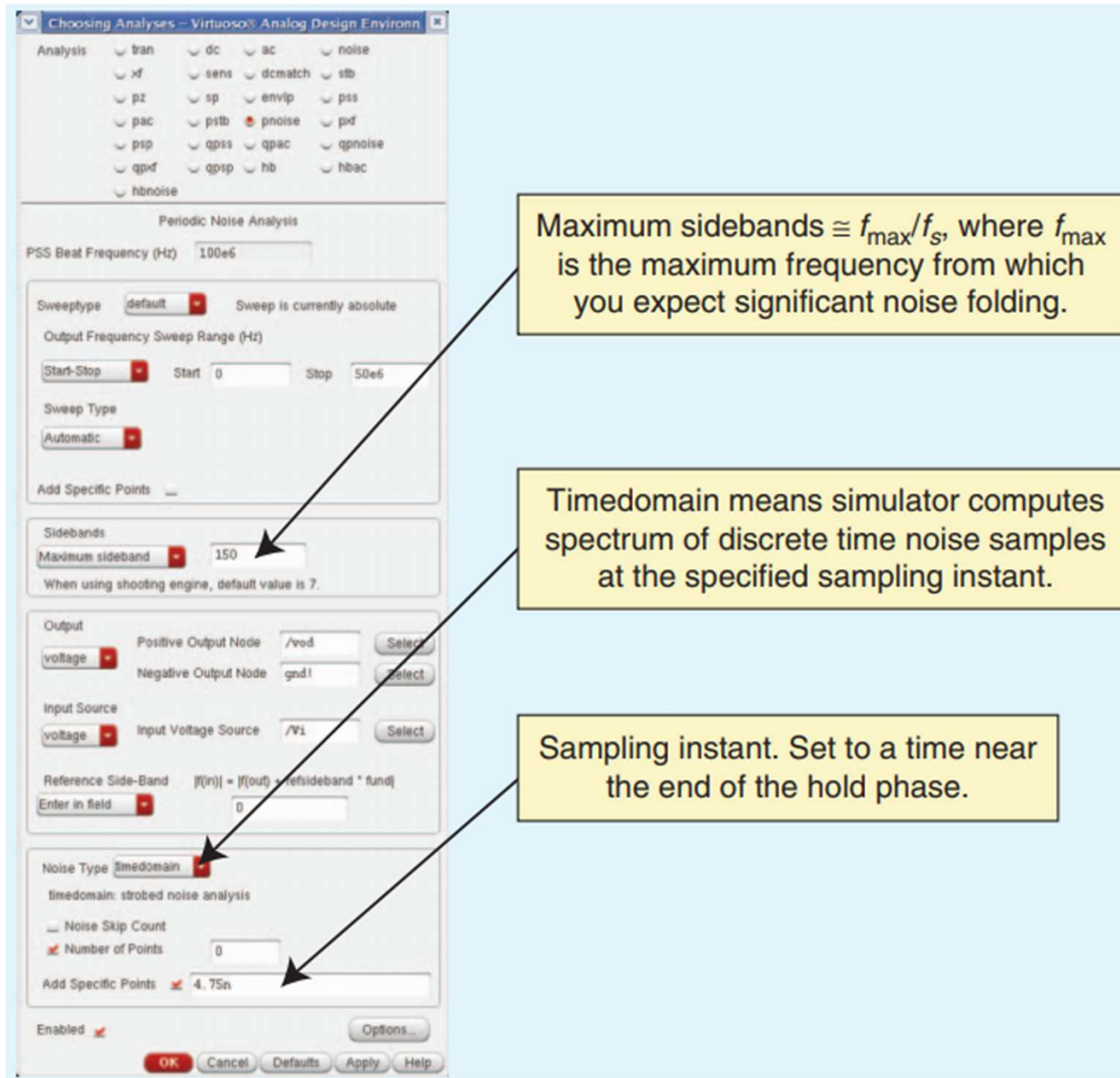
$$\overline{v_{out,1}^2} + \overline{v_{out,2}^2} = \frac{1}{2} \frac{kT}{C_2} \left(\frac{1}{1 + \frac{C_1}{2C_2}} + \frac{C_1 + C_2}{C_2 + \frac{C_1}{2}} \right) = \frac{kT}{C_2}$$

Simulacija šumova u SC kolima

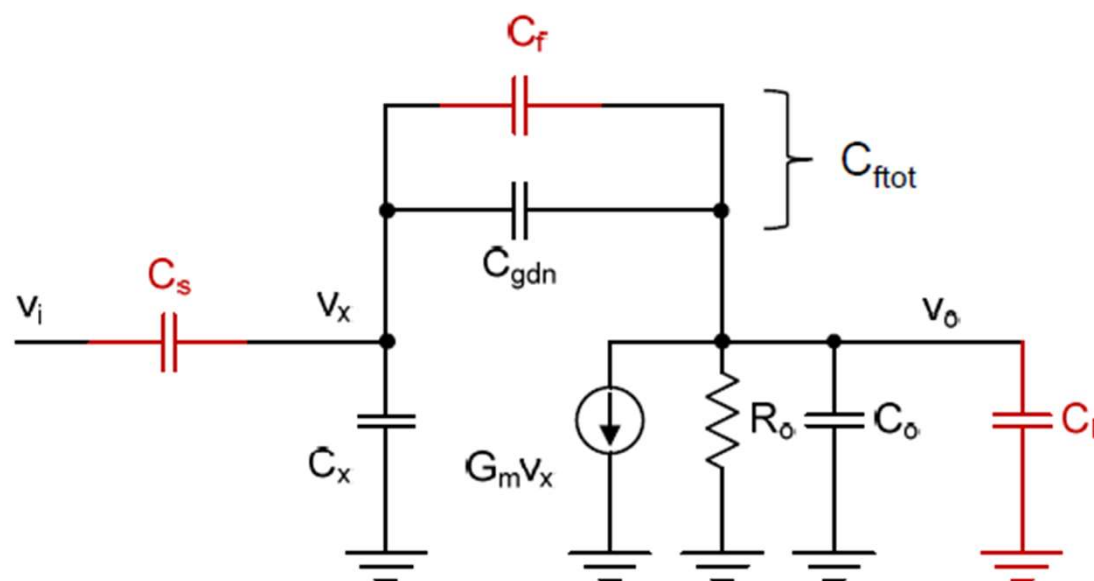
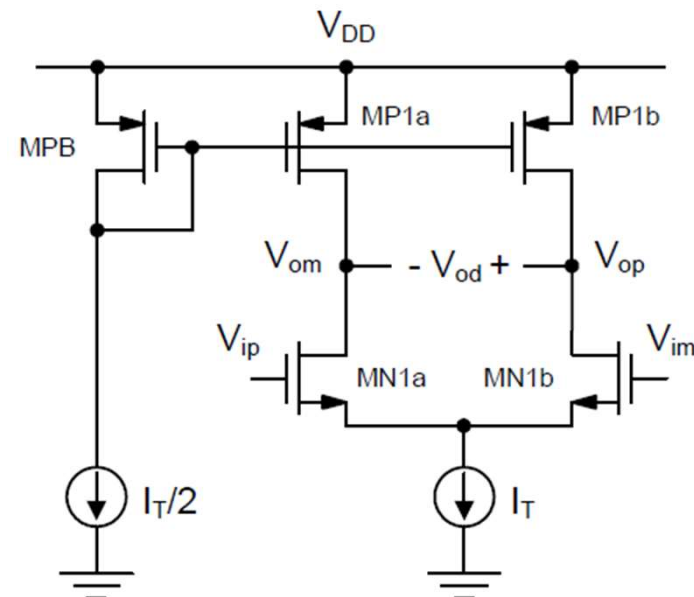
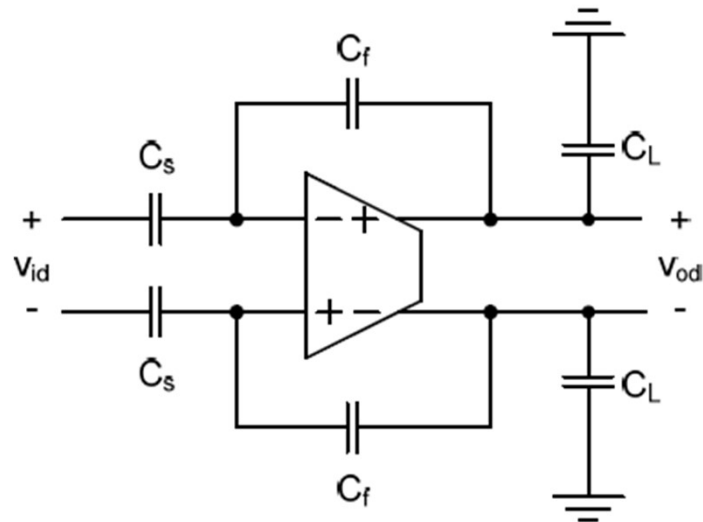
PSS:



PNOISE:



OTA sa kapacitivnom negativnom reakcijom



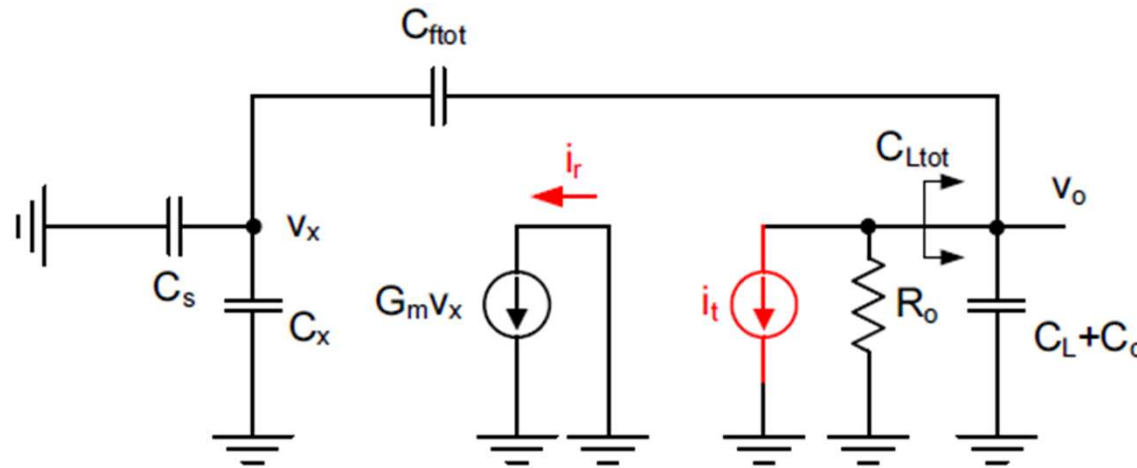
- Simetrična polovina kola

$$G_m = g_{mn}$$

$$R_0 = r_{dsn} \parallel r_{dsp}$$

$$C_0 = C_{dbn} + C_{dbp}$$

$$C_x = C_{gsn} + C_{gsp}$$

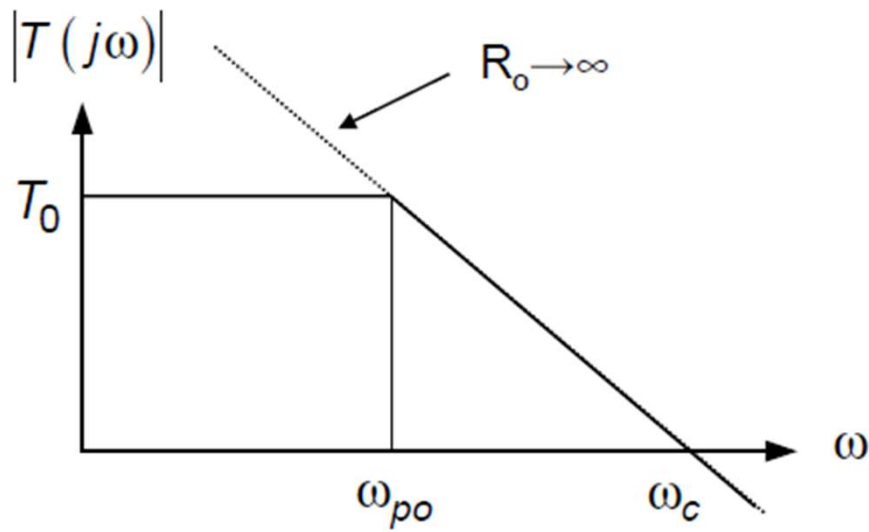


$$\beta(s) = \frac{V_x(s)}{V_0(s)} = \frac{C_{fot}}{C_{fot} + C_s + C_x}, \quad C_{fot} = C_f + C_{gdn}$$

$$V_0 = -I_t \left(R_0 \parallel \frac{1}{sC_{Ltot}} \right), \quad C_{ltot} = C_L + C_0 + (1 - \beta)C_{fot}$$

$$T(s) = -\frac{I_r(s)}{I_t(s)} = \beta G_m \left(R_0 \parallel \frac{1}{sC_{Ltot}} \right) = \frac{\beta G_m R_0}{1 + sR_0 C_{Ltot}} = \frac{\beta a_0}{1 + sR_0 C_{Ltot}}, \quad a_0 = G_m R_0$$

$$T(s) = \frac{\beta G_m R_0}{1 + sR_0 C_{Ltot}} = \frac{\beta G_m}{\frac{1}{R_0} + sC_{Ltot}} \approx \frac{\beta G_m}{sC_{Ltot}}, \quad R_0 \gg \frac{1}{sC_{Ltot}} \Leftrightarrow \omega \gg \omega_{p0}$$



$$\omega_{P0} = \frac{1}{R_0 C_{Ltot}}, T_0 = \beta G_m R_0$$

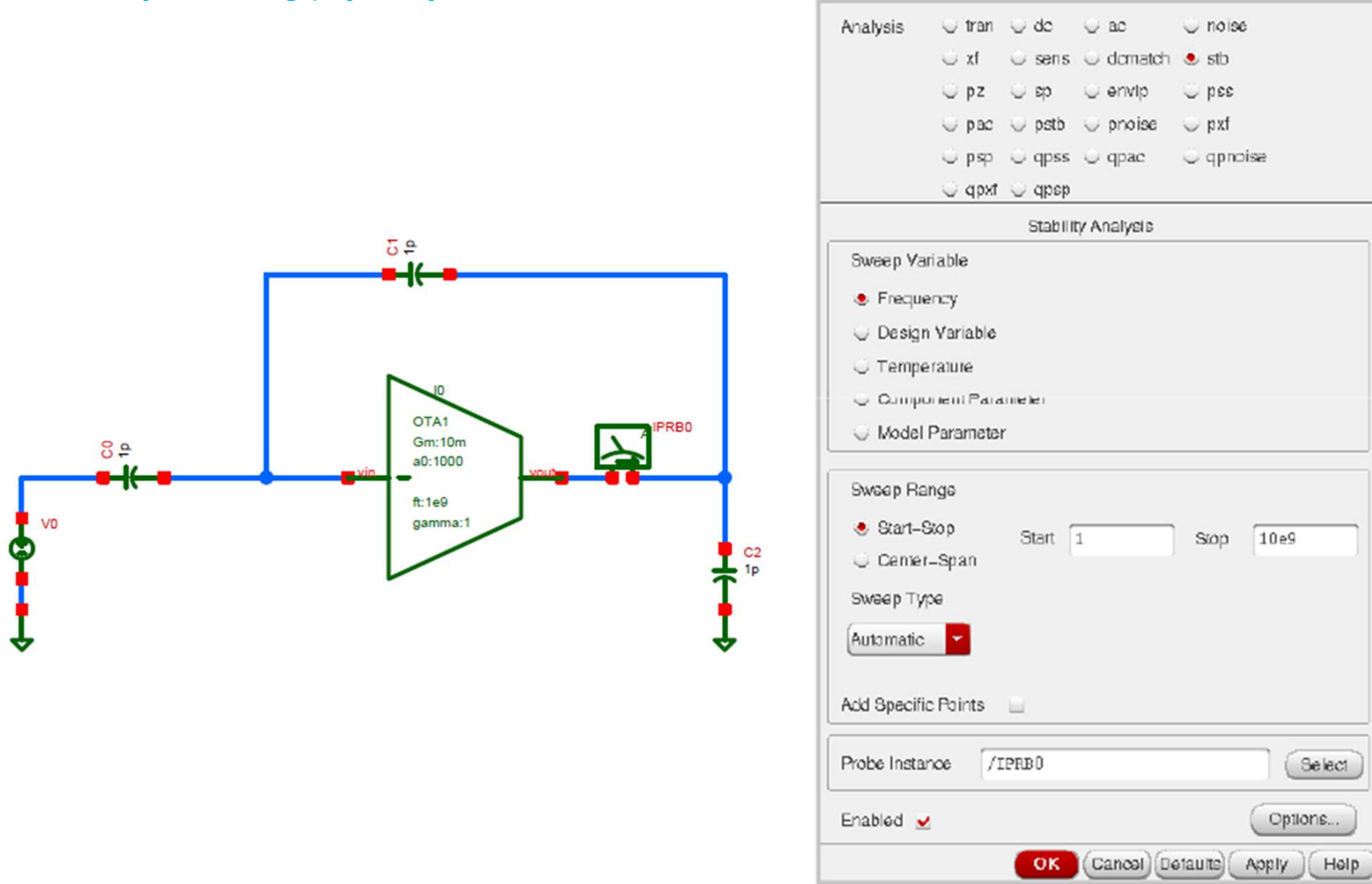
$$\left| \frac{\beta G_m}{j\omega_C C_{Ltot}} \right| = 1 \Rightarrow \omega_C = \frac{\beta G_m}{C_{Ltot}}$$

Fazna margina:

$$T(j\omega_C) = \frac{\beta G_m R_0}{1 + j \frac{\omega_C}{\omega_{P0}}} \Rightarrow \arg(T(j\omega_C)) = -\arctan \frac{\omega_C}{\omega_{P0}} = -90^\circ$$

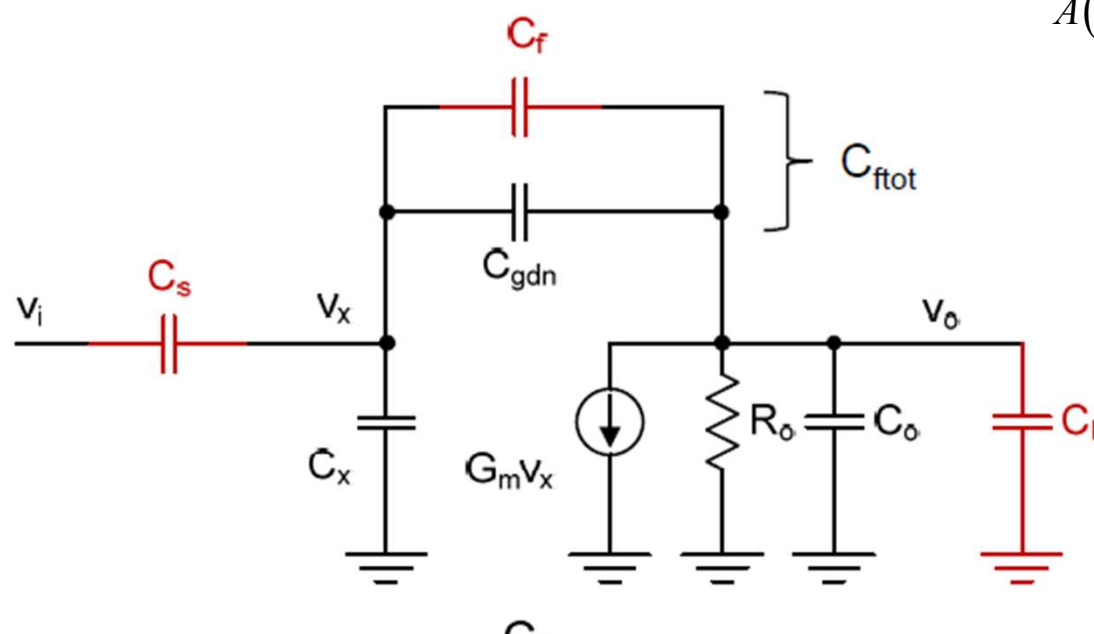
$$PM = 180^\circ - 90^\circ = 90^\circ$$

Simulacija kružnog pojačanja

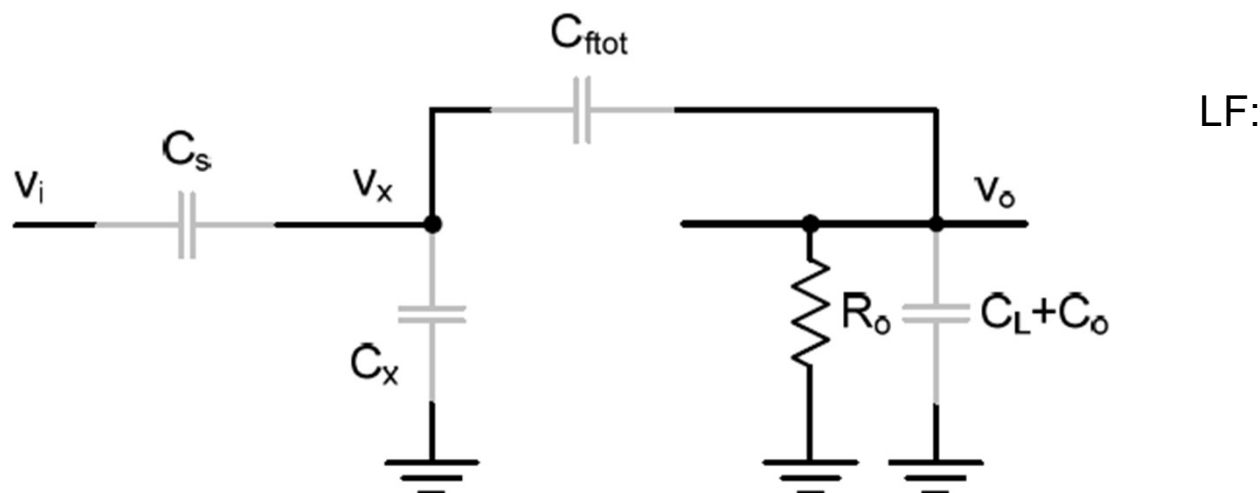


Funkcija spregnutog prenosa:

$$A(s) = \frac{V_o(s)}{V_i(s)} = A_\infty \frac{T(s)}{1+T(s)} + \frac{d}{1+T(s)}$$



$$G_m \rightarrow \infty \Rightarrow V_x \rightarrow 0 \Rightarrow A_\infty = -\frac{C_s}{C_{ftot}}$$



LF:

$$d_0 = 0$$

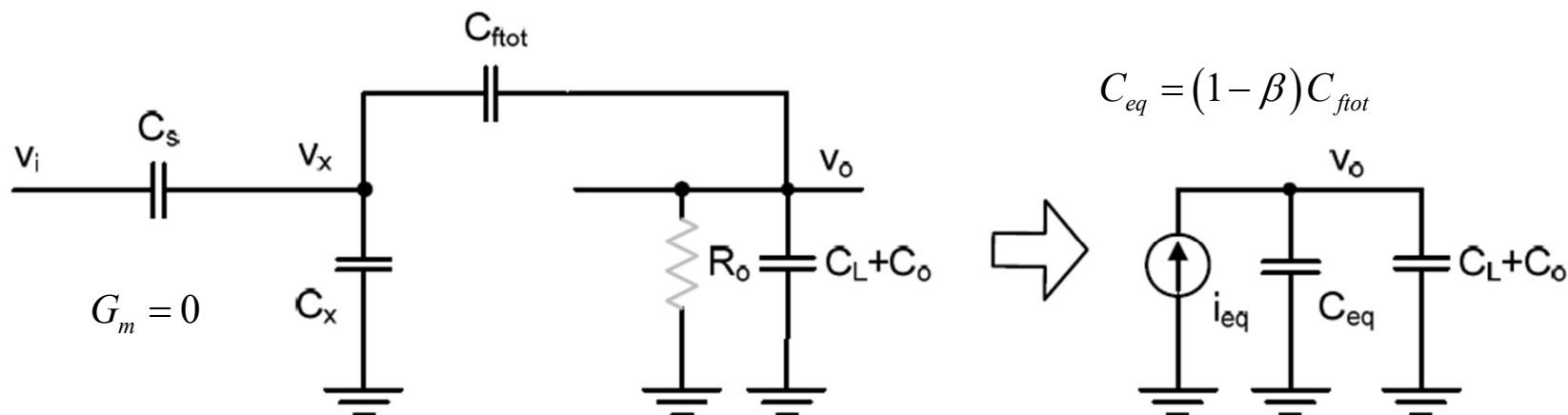
LF CLG:

$$A_0 = A_\infty \frac{T_0}{1+T_0} + \frac{d_0}{1+T_0} = -\frac{C_s}{C_{f\text{tot}}} \frac{\beta G_m R_0}{1+\beta G_m R_0}$$

Greška pojačanja u ustaljenom stanju u odnosu na idealno pojačanje

$$\varepsilon_0 = \frac{A_0 - A_\infty}{A_\infty} = \frac{A_0}{A_\infty} - 1 = \frac{T_0}{1+T_0} - 1 \approx -\frac{1}{T_0}$$

HF: $d = ?$



$$i_{eq} = V_i \frac{C_s}{C_s + C_x + C_{f\text{tot}}} s C_{f\text{tot}} = s C_s \beta V_i \quad d = \frac{V_o}{V_i} = \frac{1}{V_i} \frac{i_{eq}}{s(C_{eq} + C_L + C_0)} = \beta \frac{C_s}{C_{L\text{tot}}}$$

HF CLG:

$$A(s) = A_\infty \frac{T(s)}{1+T(s)} + \frac{d}{1+T(s)} \cong -\frac{C_s}{C_{ftot}} \frac{\frac{\beta G_m}{s C_{Ltot}} + \frac{\beta C_s}{C_{Ltot}}}{1 + \frac{\beta G_m}{s C_{Ltot}}} - \frac{C_s}{C_{ftot}} \frac{1 - s \frac{C_{ftot}}{G_m}}{1 + s \frac{C_{Ltot}}{\beta G_m}}$$

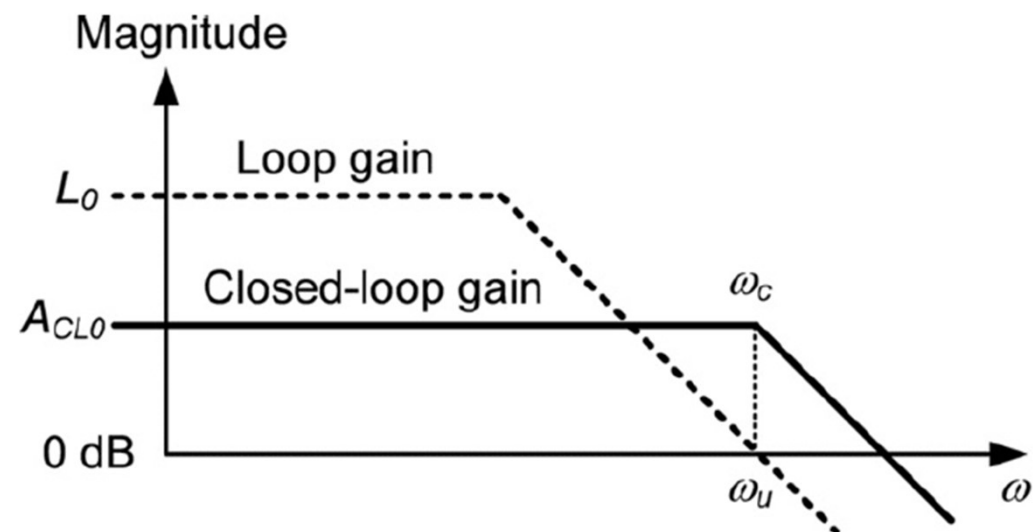
$$\Rightarrow A(s) \cong -\frac{C_s}{C_{ftot}} \frac{1 - s \frac{C_{ftot}}{G_m}}{1 + s \frac{C_{Ltot}}{\beta G_m}} = -\frac{C_s}{C_{ftot}} \frac{1 - \frac{s}{z}}{1 - \frac{s}{p}}, z = \frac{G_m}{C_{ftot}}, p = -\frac{\beta G_m}{C_{Ltot}}$$

$$\Rightarrow A(s) \cong -\frac{C_s}{C_{ftot}} \frac{1}{1 - \frac{s}{p}}$$

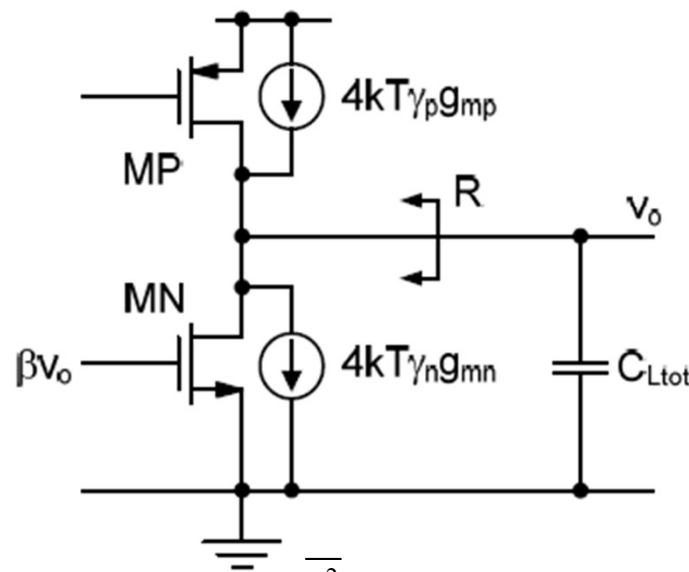
$$\omega_p = \frac{\beta G_m}{C_{Ltot}} \cong \omega_c = \frac{\beta G_m R_0}{R_0 C_{Ltot}} \cong T_0 \omega_{p0}$$

Fan-out:

$$FO = \frac{C_L}{C_S}$$



Analiza šuma:



Zanemarujući uticaj Earlyjevog efekta:

$$R \cong \frac{1}{\beta g_{mn}}$$

$$\frac{\overline{v_o^2}}{\Delta f} \cong 4kT \left(\gamma_n g_{mn} + \gamma_p g_{mp} \right) \left| R \parallel \frac{1}{j\omega C_{Ltot}} \right|^2 = 4kT \gamma_n g_{mn} \left(1 + \frac{\gamma_p g_{mp}}{\gamma_n g_{mn}} \right) \left| \frac{R}{1 + j\omega RC_{Ltot}} \right|^2$$

$$\overline{v_o^2} = \int_0^\infty 4kT \gamma_n g_{mn} \left(1 + \frac{\gamma_p g_{mp}}{\gamma_n g_{mn}} \right) \left| \frac{R}{1 + j\omega RC_{Ltot}} \right|^2 df = 4kT \gamma_n g_{mn} \left(1 + \frac{\gamma_p g_{mp}}{\gamma_n g_{mn}} \right) R^2 \frac{1}{4RC_{Ltot}}$$

$$\overline{v_o^2} = 4kT \gamma_n g_{mn} \left(1 + \frac{\gamma_p g_{mp}}{\gamma_n g_{mn}} \right) \frac{1}{\beta g_{mn}} \frac{1}{4C_{Ltot}} = \frac{kT}{C_{Ltot}} \frac{\gamma_n}{\beta} \left(1 + \frac{\gamma_p g_{mp}}{\gamma_n g_{mn}} \right)$$

- Za mali šum je potrebno da g_{mp} bude što manje, odnosno da g_{mp}/I_D bude što manje
- Međutim sa smanjenjem efikasnosti transkonduktanse raste V_{dsat} i smanjuje se swing izlaznog napona
- Za mali šum potrebno je da β bude što veće

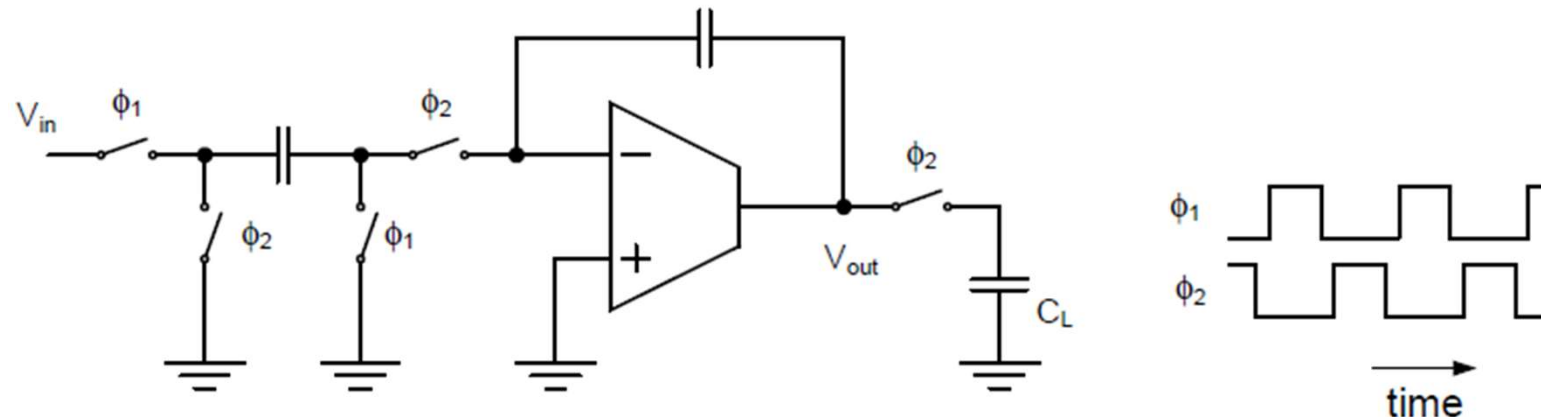
$$\beta = \frac{C_{ftot}}{C_{ftot} + C_s + C_x} = \frac{1}{1 + \frac{C_s}{C_{ftot}} + \frac{C_x}{C_{ftot}}} \cong \frac{1}{1 + |A_\infty| + \frac{C_{ggn}}{C_{ftot}}} = \frac{1}{1 + |A_\infty| + \frac{g_{mn}}{C_{ftot}} \frac{1}{\omega_T}}$$

$$\omega_T \uparrow \Rightarrow \beta \uparrow$$

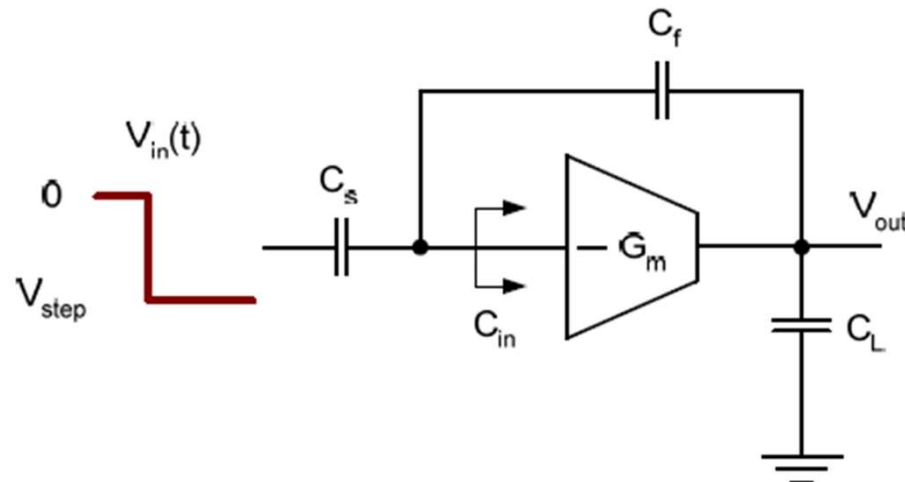
- Spektralna gustina snage FD pojačavača je dva puta veća, ali se snaga povećava 4 puta (amplituda dva puta)
- Dynamic Range

$$DR_{\text{single}} \propto \frac{V_{0m}^2}{kT/C} \quad DR_{FD} \propto \frac{(2V_{0m})^2}{2kT/C} = 2 \frac{V_{0m}^2}{kT/C}$$

Settling performance



- Izlaz mora da se „slegne“ unutar faze Φ_2 takta, tako da se pravilan naponski nivo uzorkuje na C_L



$$A(s) \equiv -\frac{C_s}{C_f} \frac{1}{1 + \frac{1}{T_0}} \frac{1}{1 + \frac{s}{\omega_C}},$$

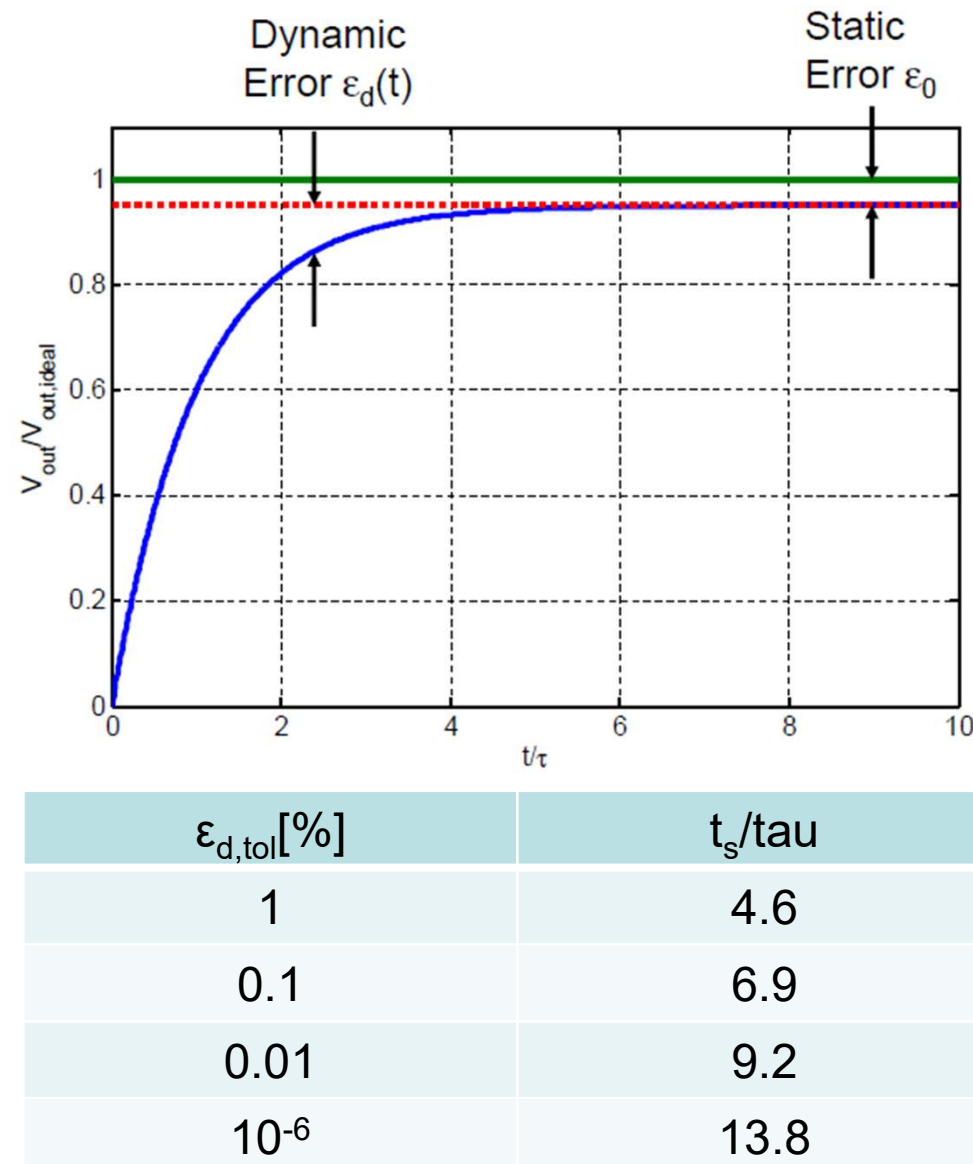
Odziv na step funkciju:

$$\begin{aligned} V_{out}(s) &= A(s)V_{in}(s) \\ \Rightarrow V_{out}(t) &= L^{-1}\{A(s)V_{in}(s)\} \end{aligned}$$

$$V_{out}(t) = L^{-1}\left\{A(s)\frac{V_{step}}{s}\right\} = -\frac{C_s}{C_f}V_{step} \frac{T_0}{1+T_0} \left(1 - e^{-t/\tau}\right), \tau = \frac{1}{\omega_C}$$

Radivoje Đurić, 2020, Analogna integrisana kola

- Konačno DC pojačanje proizvodi statičku grešku ϵ_0 , dok se zbog konačnog propusnog opsega pojavljuje dinamička greška ϵ_d



$$V_{out,ideal} = -\frac{C_s}{C_f} V_{step}$$

- Potrebno je veliko DC kružno pojačanje za malu statičku grešku

$$|\epsilon_0| \approx \frac{1}{T_0}$$

- Potrebno je мало tau за малу dinamičку grešку, односно за брзо постављање
- Може да се дефинише време постављања на основу дозвољене dinamičке greške

$$-\epsilon_{d,tol} = e^{-t_s/\tau} \Rightarrow t_s = -\tau \ln \epsilon_{d,tol}$$

- Мала промена времена t_s , приближно 3 пута, за велики опсег толеранције, од 1% до $10^{-6}\%$

- SC kola rade sa dve faze signala takta
- U toku jedne polovine prekidačke periode je potrebno odrediti odgovarajuću vremensku konstantu, odnosno minimalni propusni opseg, za potrebnu dinamičku grešku

$$t_s = -\tau \ln \varepsilon_{d,tol} = -\frac{1}{2\pi f_C} \ln \varepsilon_{d,max} < \frac{1}{2} \frac{1}{f_S}$$

$\varepsilon_{d,tol} [\%]$	f_C/f_S
1	1.5
0.1	2.2
0.01	2.9
10^{-6}	4.4

$$\Rightarrow \frac{f_C}{f_S} > -\frac{1}{\pi} \ln \varepsilon_{d,max}$$

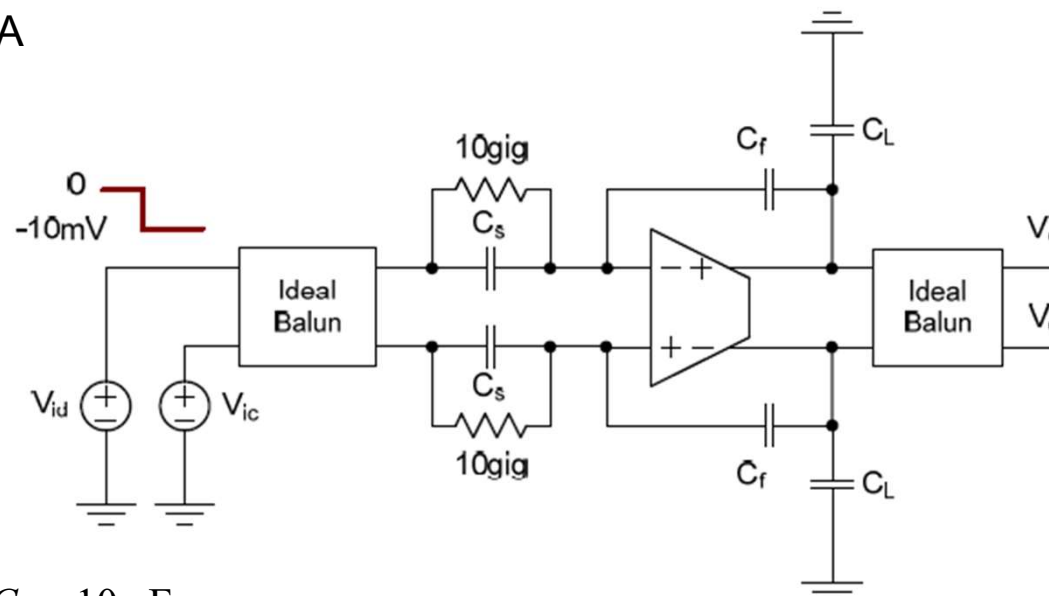
Simulacija:

$C_s = C_f = 500 \text{ fF}$, $C_L = 10 \text{ pF}$, $\beta = 0.48$, $G_m = 1 \text{ mS}$, $G_m R_o = 85$, $V_{idstep} = -10 \text{ mV}$

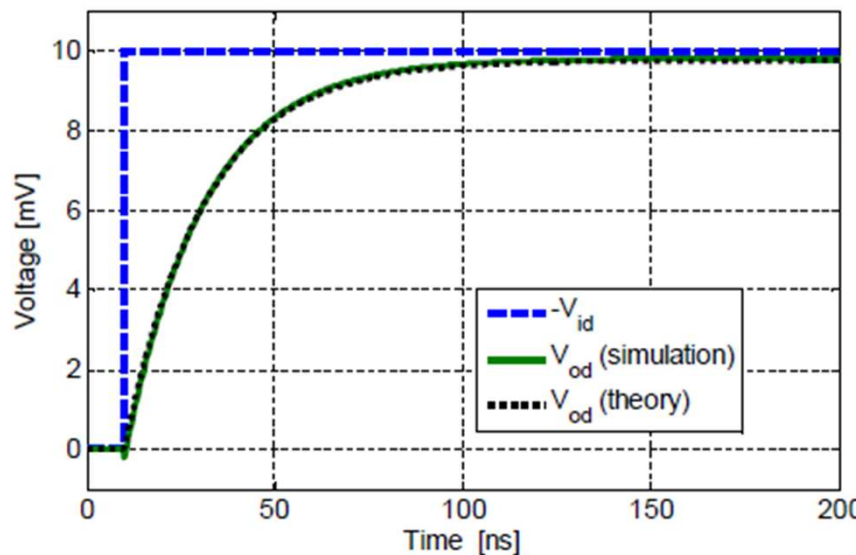
$$\tau = \frac{1}{\beta} \frac{C_L + (1-\beta)C_f}{G_m} = 21 \text{ ns}$$

$$V_{od,final} = -V_{idstep} \frac{\beta G_m R_0}{1 + \beta G_m R_0} = 9.76 \text{ mV}$$

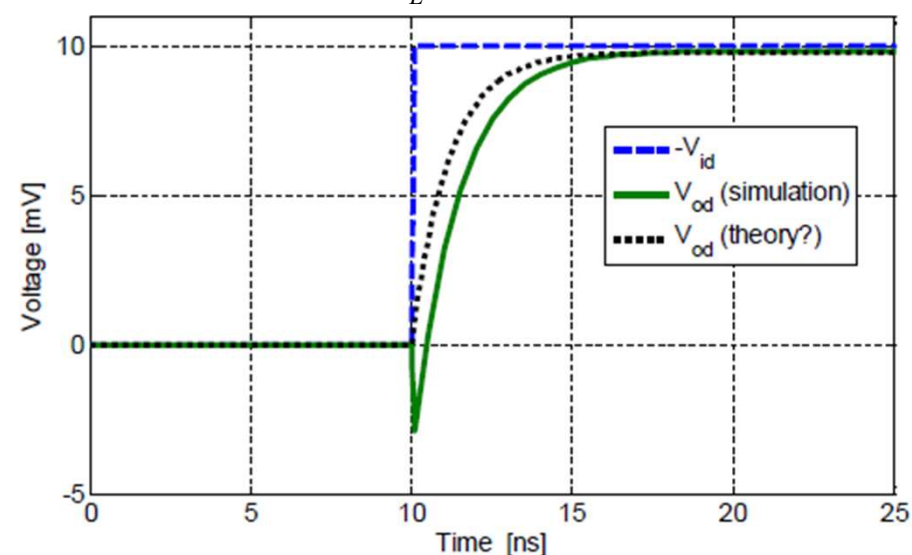
Kolo SC FD OTA



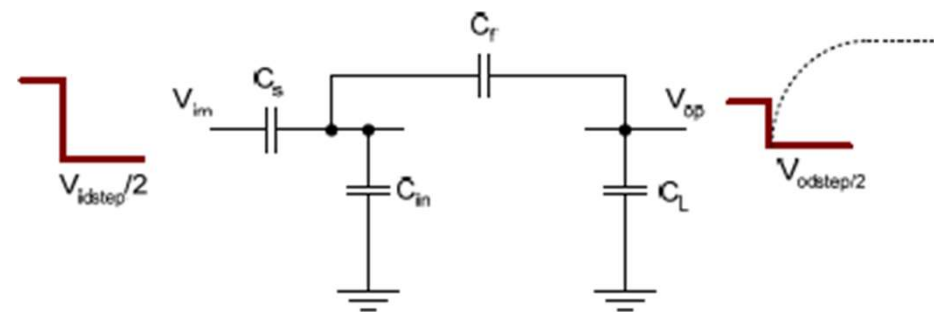
$$C_L = 10 \text{ pF}$$



$$C_L = 300 \text{ fF}$$



Postoji kapacitivni Feedforward



- Kapacitivni razdelnik u početnom trenutku

$$\frac{V_{ostep}}{V_{idstep}} = \frac{C_s}{C_s + C_{in} + \frac{C_f C_L}{C_f + C_L}} \cdot \frac{C_f}{C_f + C_L}$$

- Potrebno je preciznije analizirati vremenski odziv koristeći kapacitivni razdelnik i uzimajući u obzir nulu funkcije prenosa

$$A(s) \approx -\frac{C_s}{C_f} \frac{1}{1 + \frac{1}{T_0} \frac{s}{\omega_C}} \frac{1 - \frac{s}{z}}{1 + \frac{s}{z}}, z = \frac{G_m}{C_f}, p = -\frac{\beta G_m}{C_{Ltot}}$$

$$V_{out}(t) = L^{-1} \left\{ A(s) \frac{V_{step}}{s} \right\} = -\frac{C_s}{C_f} V_{step} \frac{T_0}{1 + T_0} \left[1 - \left(1 - \frac{p}{z} \right) e^{-t/\tau} \right], \tau = \frac{1}{\omega_C}$$

$$1 - \frac{p}{z} = \frac{C_L + (1 - \beta)C_f + \beta C_f}{C_L + (1 - \beta)C_f} = \frac{C_L + C_f}{C_L + (1 - \beta)C_f} = \frac{1}{1 - \beta \frac{C_f}{C_f + C_L}}$$

$$\frac{1}{1 - \beta \frac{C_f}{C_f + C_L}} = \frac{1}{1 - 0.48 \frac{500}{500 + 300}} = 1.4 \Rightarrow V_{od}(t=0) \approx 10(1 - 1.4) \text{ mV} = -4 \text{ mV}$$

Novo vreme uspostavljanja

$$t_s = -\tau \ln \left[\varepsilon_{d,tol} \left(1 - \beta \frac{C_f}{C_f + C_L} \right) \right] \quad \varepsilon_{d,tol} = 0.1\% \Rightarrow t_s = 7.3\tau$$

Optimizacija sa konstantnim šumom i propusnim opsegom

$$\overline{v_{0d}^2} \approx 2 \frac{kT}{C_{Ltot}} \frac{\gamma_n}{\beta} \quad I_D = g_m \frac{1}{g_m / I_D}$$

$$\omega_u = \omega_C \approx \beta \frac{g_m}{C_{Ltot}} \Rightarrow g_m = \frac{\omega_u C_{Ltot}}{\beta} \quad \overline{v_{0d}^2} = 2 \frac{kT}{C_{Ltot}} \frac{\gamma_n}{\beta} \Rightarrow C_{Ltot} = 2 \frac{kT}{\overline{v_{0d}^2}} \frac{\gamma_n}{\beta}$$

$$g_m = 2 \frac{\gamma_n \omega_u}{\beta^2} \frac{kT}{\overline{v_{0d}^2}} \quad \Rightarrow I_D = g_m \frac{1}{g_m / I_D} = 2 \frac{kT}{\overline{v_{0d}^2}} \gamma_n \omega_u \frac{1}{\beta^2} \frac{1}{g_m / I_D}$$

- Za minimalnu struju drenja, pri konstantnom šumu i propusnim opsegom, potrebno je da što manji bude izraz

$$K = \frac{1}{\beta^2} \frac{1}{g_m / I_D}$$

što znači što veći β i g_m / I_D

- Međutim:

$$(g_m / I_D) \uparrow \Rightarrow \omega_T \downarrow$$

što znači veću kapacitivnost gejta za zadato g_m , odnosno manji feedback faktor β .

Da bi obezbedili konstantan propusni opseg, moramo povećati g_m , što dovodi do umanjivanja pozitivnog efekta usled smanjivanja g_m / I_D

Kompromis između g_m / I_D i ω_T

$$\beta = \frac{C_{ftot}}{C_{ftot} + C_s + C_x} = \frac{1}{1 + G + \frac{C_{gs}}{C_{ftot}}}, G = \frac{C_s}{C_{ftot}}$$

$$\frac{C_{gs}}{C_{ftot}} = \frac{g_m / C_{ftot}}{g_m / C_{gs}} \approx \frac{g_m / C_{ftot}}{\omega_{Ti}}, \omega_{Ti} = g_m / C_{gs} > \omega_T = g_m / C_{gg}$$

$$\omega_u = \frac{\beta g_m}{C_{Ltot}} = \frac{\beta g_m}{C_L + C_{ftot}(1-\beta)} = \frac{\beta g_m / C_{ftot}}{\frac{C_L}{C_{ftot}} + (1-\beta)}$$

$$\frac{C_L}{C_{ftot}} = \frac{C_L}{C_S} \frac{C_S}{C_{ftot}} = FO \cdot G$$

$$\Rightarrow \frac{g_m}{C_{ftot}} = \frac{1}{\beta} \frac{\omega_u}{\omega_{Ti}} [FO \cdot G + (1-\beta)]$$

$$\Rightarrow \beta = \frac{1 - (1 + FO \cdot G) \frac{\omega_u}{\omega_{Ti}}}{1 + G - \frac{\omega_u}{\omega_{Ti}}}$$

$$K = \frac{1}{\beta^2} \frac{1}{g_m / I_D} = \left(\frac{1 + G - \frac{\omega_u}{\omega_{Ti}}}{1 - (1 + FO \cdot G) \frac{\omega_u}{\omega_{Ti}}} \right)^2 \frac{1}{g_m / I_D}$$

- G je fiksirano, dok se FO može podešavati da se dobije minimalna struja drenja
- Kod kaskadne veze SC kola približno optimalna vrednost fan-out iznosi $1/G$, kao što je i u našem slučaju

Primer:

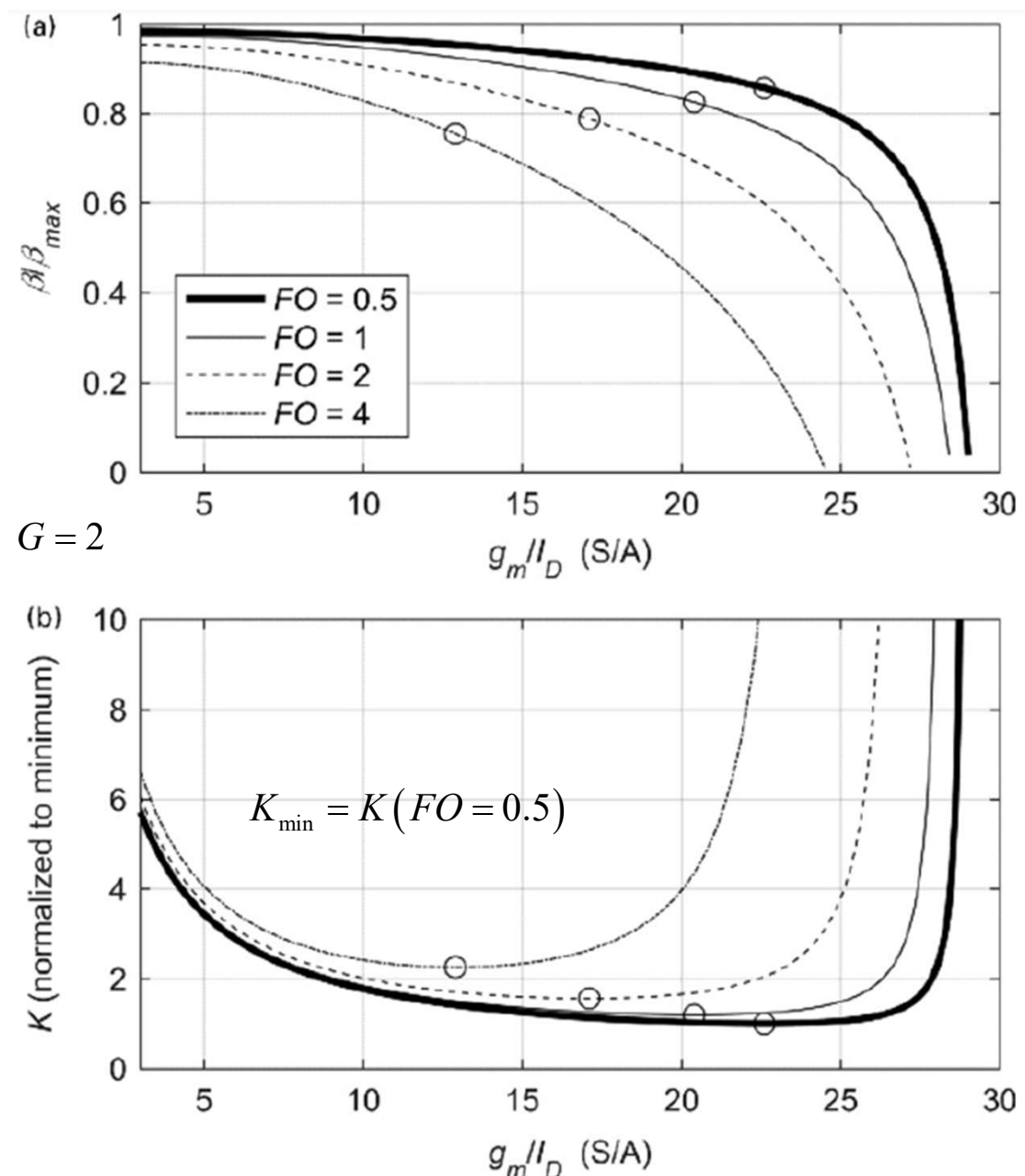
Za tranzistora sa $L = 100$ nm i $f_u = 1$ GHz, odrediti minimalnu struju drenova, a zatim i g_m/I_D , f_{Ti} , β/β_{max} i odnos kapacitivnosti $C_{gs}/(C_S + C_{Ftot})$.

- (1) $G = 2$ i $FO = 0.5, 1, 2, 4$,
- (2) $G = 1, 2, 4, 8$ i $FO \cdot G = 2$

(1) Veći odnos gm/ID zahteva veći C_{gs} , pa feedback faktor β monotono opada

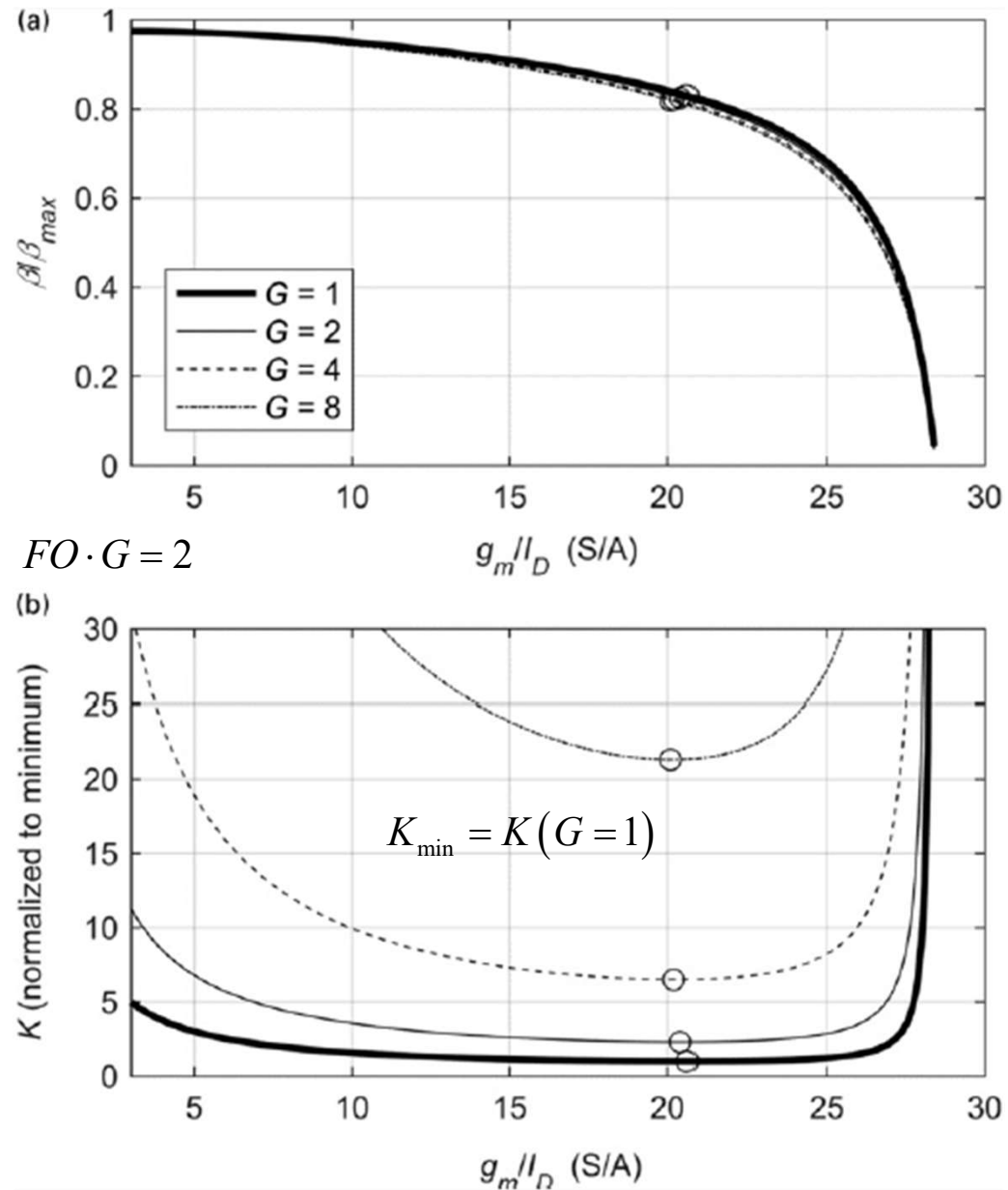
Faktor K opada sa povećanjem gm/ID pri malim vrednostima efikasnosti transkonduktanse, a potom raste zbog opadanja β . Kada se ova dva uticaja izjednače, dobija se minimum konstante K . Minimum funkcije K se pomera ka jakoj inverziji sa povećanjem FO .

U datoј tehnologiji je praktično nemoguće da pri $f_u=1$ GHz tranzistori budu duboko u oblasti slabe inverzije



FO	Optimum Parameters				
	g_m/I_D (S/A)	f_{Ti} (GHz)	β/β_{max}	$C_{gs}/(C_S + C_{Ftot})$	$G = 2$
0.5	22.6	12.0	0.857	0.167	
1	20.4	15.6	0.825	0.212	
2	17.1	22.3	0.788	0.270	
4	12.9	35.6	0.755	0.325	

(2) Normalizovani feedback faktor sada vrlo malo zavisi od G. To znači da je ω_u/ω_{Ti} malo u poređenju sa $1+G$ i denominator je aproksimativno konstantan
Sa povećanjem pojačanja G raste i minimalna struja drezna

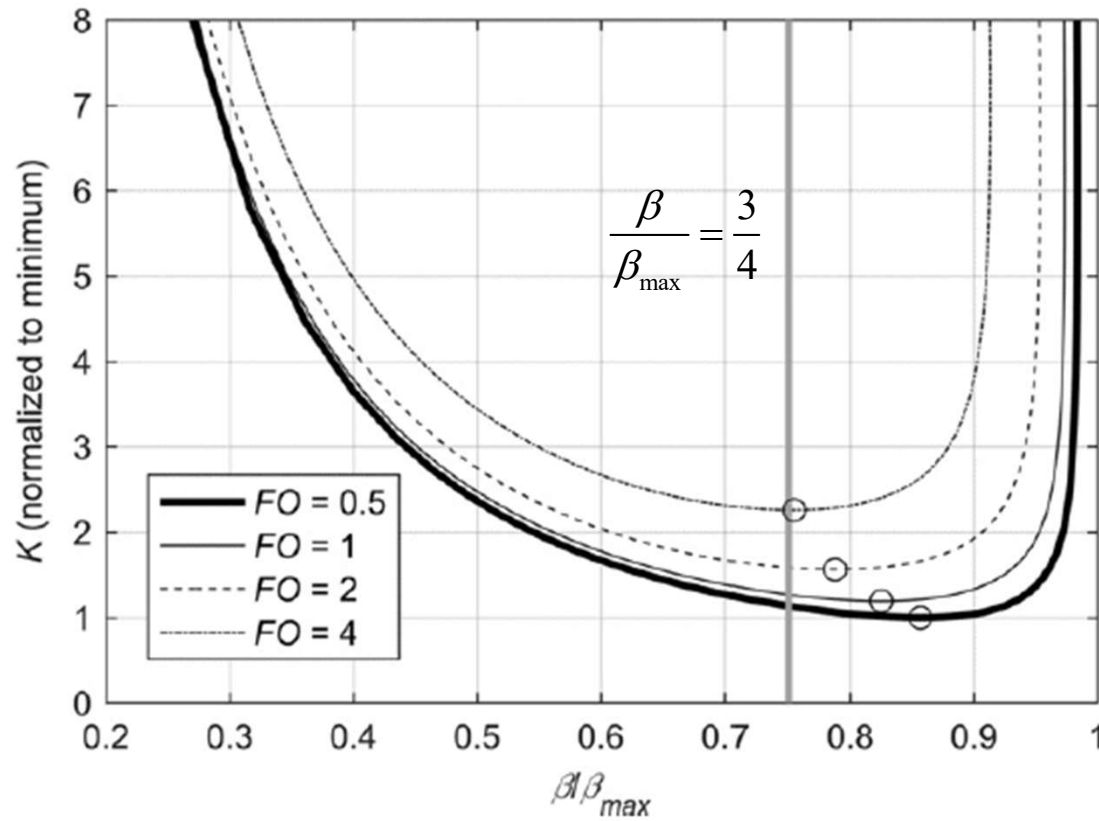


G	$FO \cdot G = 2$	Optimum Parameters		
	g_m/I_D (S/A)	f_{Ti} (GHz)	β/β_{max}	$C_{gs}/(C_S + C_{Ftot})$
1	20.6	15.2	0.830	0.204
2	20.4	15.6	0.825	0.211
4	20.2	15.9	0.822	0.216
8	20.1	16.1	0.819	0.220

$$K \cong \left(\frac{1+G}{1 - (1+FO \cdot G) \frac{\omega_u}{\omega_{Ti}}} \right)^2 \frac{1}{g_m / I_D}$$

Minimum K:

$$\frac{\omega_u}{\omega_{Ti}} = 3(FO \cdot G + 1) \quad C_{gs} = \frac{C_S + C_{Ftot}}{3} \Rightarrow \frac{\beta}{\beta_{max}} = \frac{3}{4}$$



Dobra procena vrednosti parametara, zbog toga što je funkcija K sporo promenljiva u okolini minimuma!

Dimenzionisanje tranzistora:

Dimenzionisati tranzistore i odrediti kapacitivnosti, tako da se ostvari $f_u=1\text{GHz}$ i $V_o=100\mu\text{V}_{\text{rms}}$ pri minimalnoj struji potrošnje. Smatrati da je $G=2$, $FO=1$ i $L=100\text{nm}$. Odrediti statičku grešku i vreme potrebno da dinamička greška odziva bude ispod 0.1%

FO	Optimum parameters			
	g_m/I_D (S/A)	f_{Ti} (GHz)	β/β_{max}	$C_{gs}/(C_S + C_{Ftot})$
1	20.4	15.6	0.825	0.212

$$\beta = 0.825 \beta_{max} = 0.825 / 3 = 0.275$$

$$\gamma_n = 0.7 \Rightarrow C_{Ltot} = 2 \frac{\gamma_n}{\beta} \frac{kT}{v_{od}^2} = 2.1 \text{ pF}$$

$$g_m \cong \frac{C_{Ltot} \omega_u}{\beta} = 48.2 \text{ mS}$$

$$I_D = \frac{g_m}{(g_m / I_D)} = 2.36 \text{ mA}$$

Lookup table: $J_D=3.02 \text{ A/m}$

$$W = \frac{I_D}{J_D} = 783 \mu\text{m}$$

$$C_{L_{tot}} = C_L + (1 - \beta)C_{F_{tot}} = C_{F_{tot}}(FO \cdot G + (1 - \beta)) = 774 \text{ fF}$$

$$C_{L_{tot}} = C_L + (1 - \beta)C_{F_{tot}} = C_{F_{tot}}(FO \cdot G + (1 - \beta)) \Rightarrow C_{F_{tot}} = 774 \text{ fF}$$

$$G = 2 \Rightarrow C_S = 2C_{F_{tot}} = 1.55 \text{ pF}$$

- Da bi se odredila statička greška, potrebno je odrediti DC kružno pojačanje, a za to je potrebno unutrašnje pojačanje tranzistora

`gm_gds = lookup(nch,'GM_GDS', 'GM_ID', gm_ID, 'L', L)`

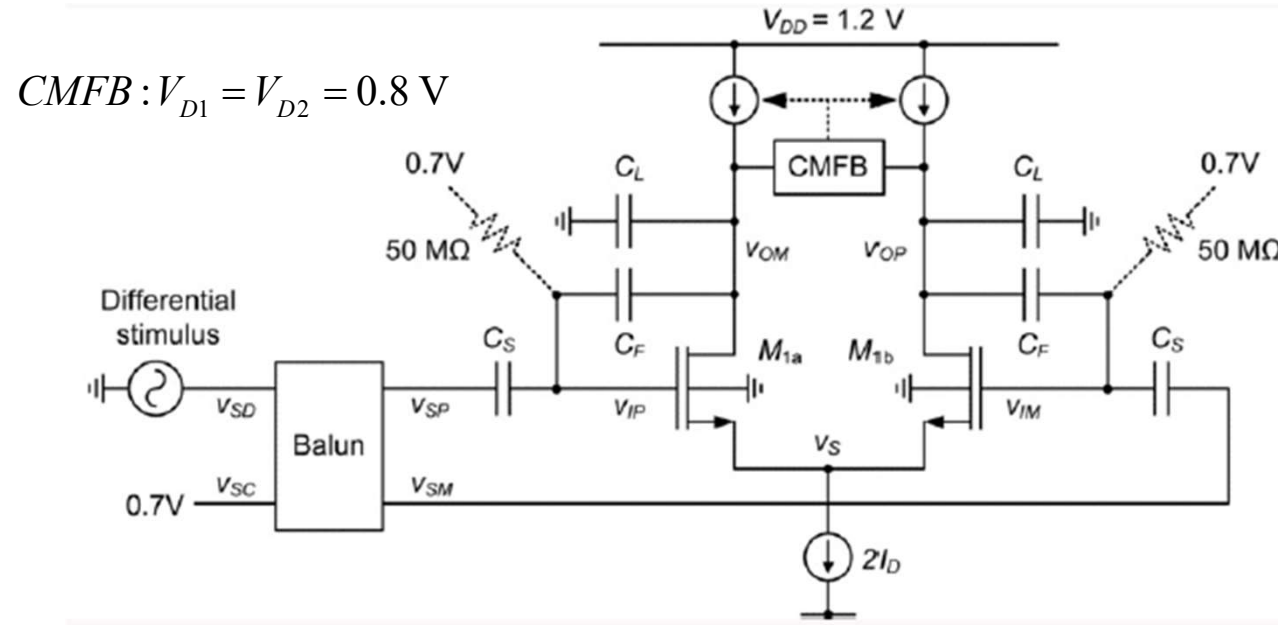
$$\varepsilon_S = -\frac{1}{T_0} = -\frac{1}{\beta \frac{g_m}{g_{ds}}} = -15\%$$

$$t_s = -\tau \ln \varepsilon_{d,tol} = 6.9\tau = \frac{6.9}{\omega_u} = 1.10 \text{ ns}$$

`Cgd = W*lookup(nch,'CGD_W', 'GM_ID', gm_ID, 'L', L)`

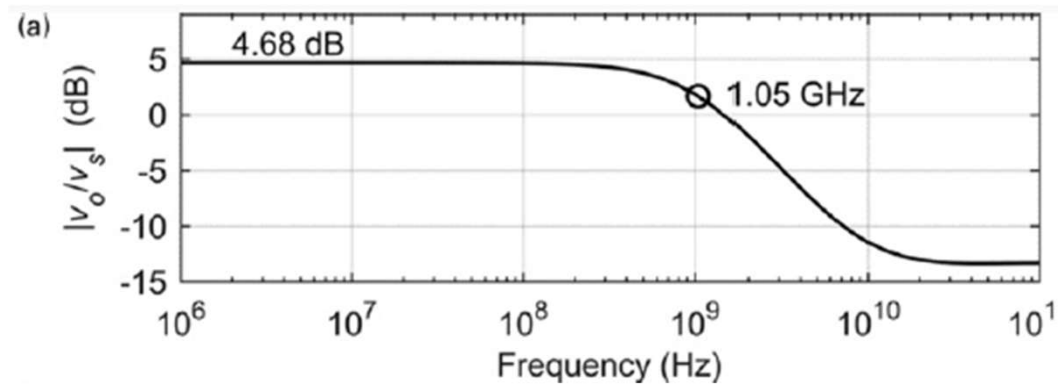
$$C_{gd} = 259 \text{ fF} \Rightarrow C_F = C_{F_{tot}} - C_{gd} = 515 \text{ fF}$$

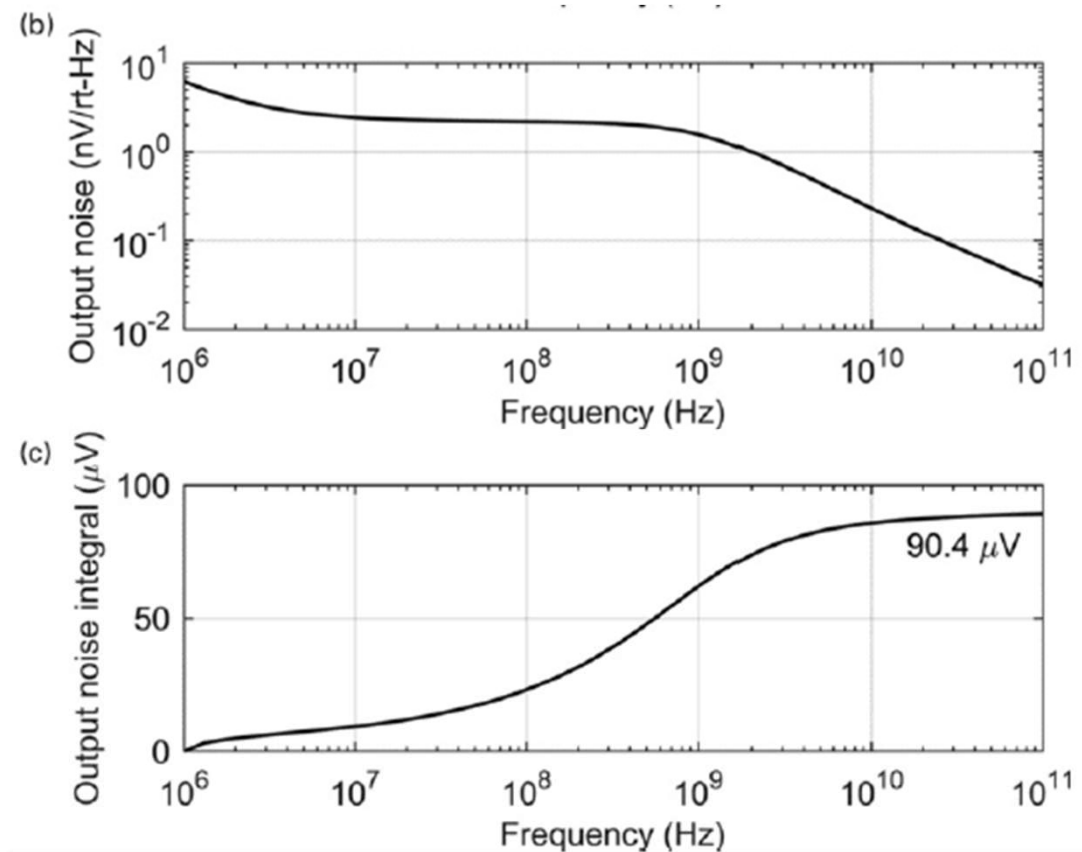
Simulacije:

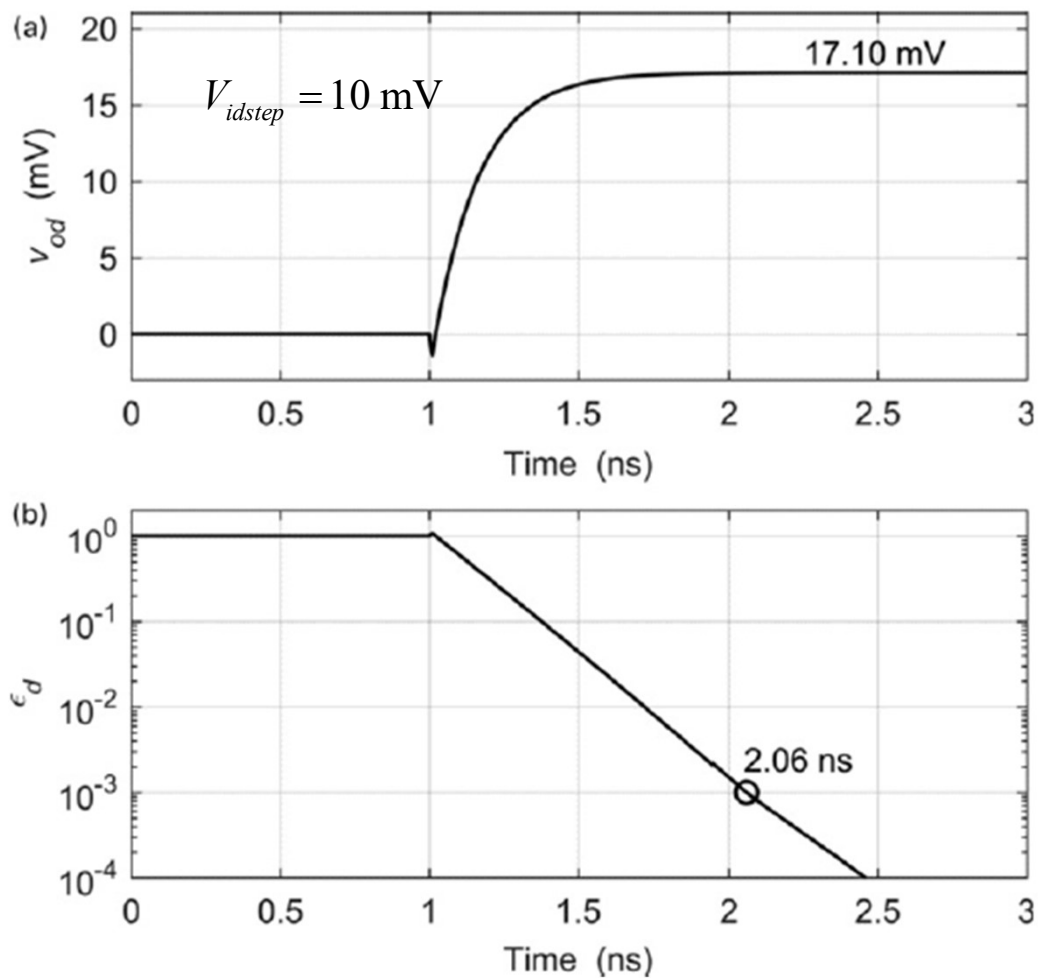


$$C_{db} = W^* \text{lookup}(nch, 'CDD_W', 'GM_ID', gm_ID, 'L', L) - C_{gd}$$

$$C_{db} = 230 \text{ fF} (10\% C_{Ltot})$$



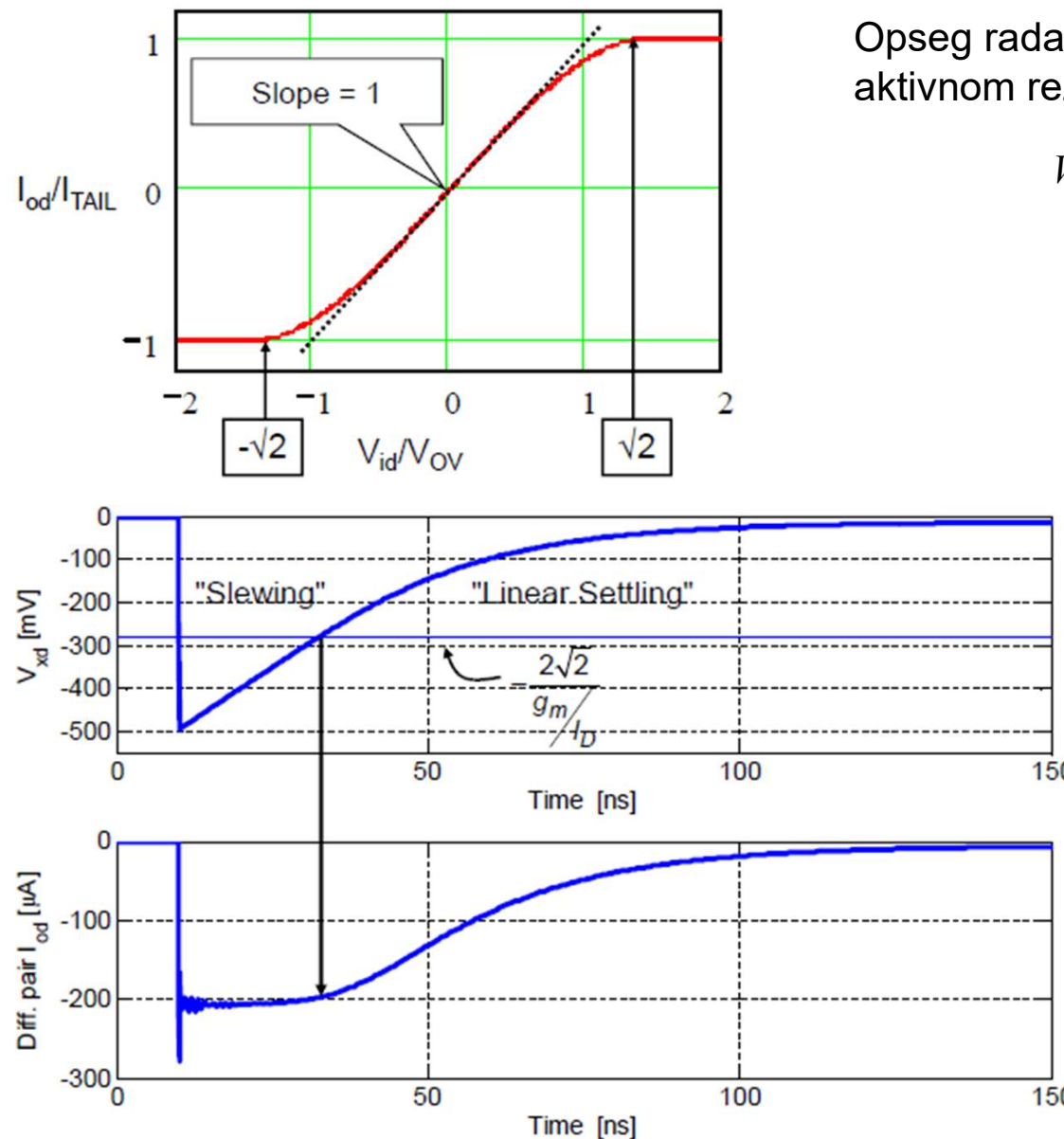




Tipičan algoritam:

1. Specifikacije (Noise, settling time, CLG, T_0 , FO)
2. L tranzistora prema LF LG (T_0)
3. C_{Ltot} prema specifikacijama šuma, što fiksira sve ostale kapacitivnosti
4. Na osnovu željenog propusnog opsega ω_C , ili t_s , izračunati g_m
5. Na osnovu g_m i C_{gs} izračunati f_{Ti}
6. Lookup table za određivanje g_m/I_D i izračunavanje I_D
7. Lookup table za određivanje I_D/W i izračunavanje W
8. Ako se, prema početnim specifikacijama, dobije tranzistor velikih dimenzija, treba smanjiti g_m/I_D ispod optimalne vrednosti. Ovim potezom se sa malim povećanjem struje drenja drastično smanjuje širina kanala tranzistora

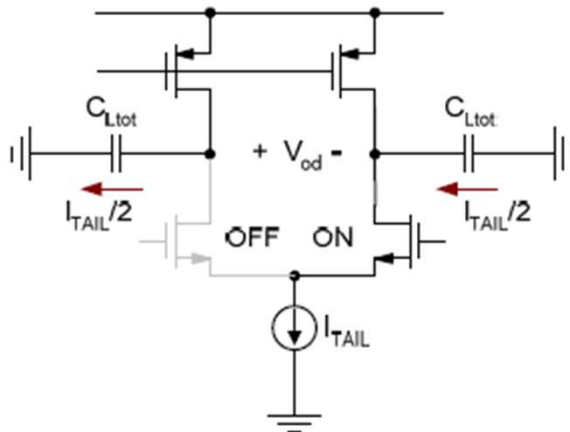
Optimizacija sa uticajem SR



Opseg rada diferencijalnog pojačavača u aktivnom režimu

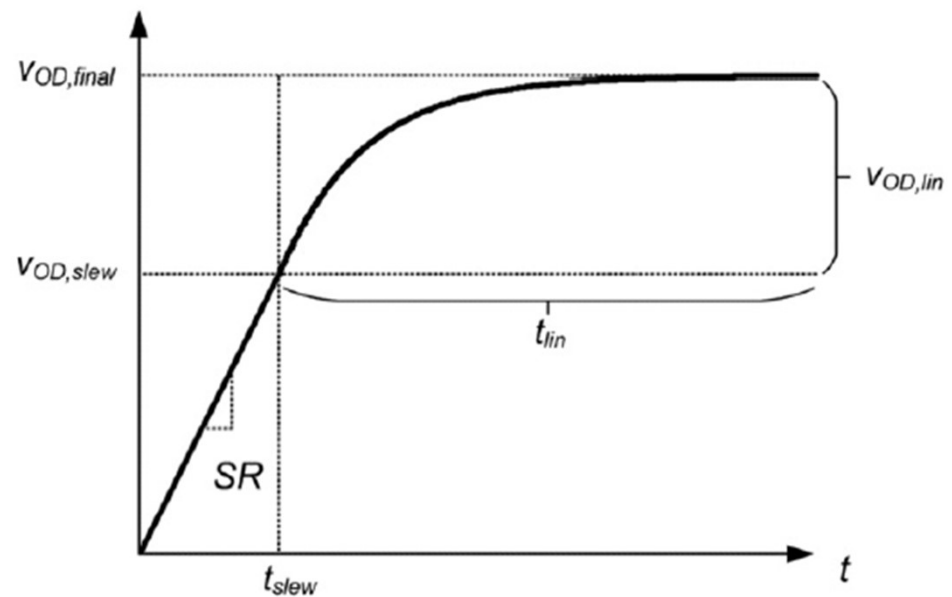
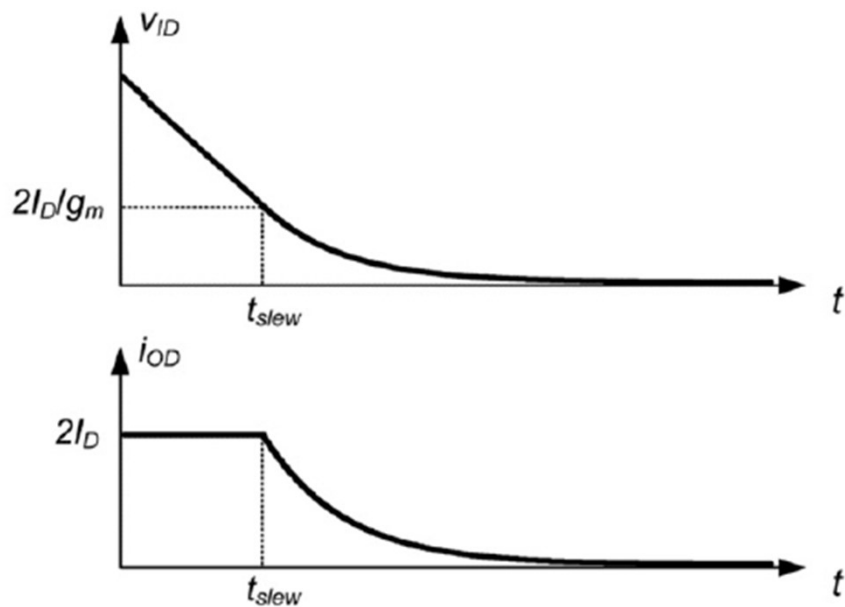
$$V_{OV} = V_{GS} - V_T \cong \frac{2}{g_m / I_D}$$

- Pri velikoj razlici napona na gejtvima, jedan tranzistor u diferencijalnom paru je zakočen, a drugi provodi svu struju strujnog izvora u sorsu. Tada do izražaja dolazi "slewing"
- Pri maloj razlici ulaznih napona oba tranzistora su u aktivnom režimu, a odziv određuje propusni opseg pojačavača



Slew Rate (SR):

$$SR = \frac{dV_{od}}{dt} = \frac{I_{TAIL}}{C_{Ltot}} = \frac{2I_D}{C_{Ltot}} = \frac{2I_D}{\tau \beta g_m}$$



Kontinuitet funkcije $t=t_{slew}$:

$$\frac{d}{dt} \left[V_{od,lin} \left(1 - e^{-t/\tau} \right) \right]_{t=0} = \frac{V_{od,lin}}{\tau} = SR \Rightarrow V_{od,lin} = SR \cdot \tau = \frac{2I_D}{\beta g_m}$$

$$t_{slew} = \frac{V_{od,slew}}{SR} = \frac{V_{od,final} - V_{od,lin}}{V_{od,lin} / \tau} = \tau \left(\frac{V_{od,final}}{V_{od,lin}} - 1 \right)$$

- Preostali deo vremena uspostavljanja iznosi:

$$t_{lin} = \tau \ln \left(\frac{1}{\epsilon_{d,tol}} \frac{V_{od,final}}{V_{od,lin}} \right)$$

- Ukupno vreme uspostavljanja signala na izlazu je:

$$t_S = t_{slew} + t_{lin} = \tau \left[X - 1 + \ln \left(\frac{1}{\epsilon_{d,tol}} X \right) \right], X = \frac{V_{od,final}}{V_{od,lin}} = V_{od,final} \frac{\beta g_m}{2 I_D}$$

- Na osnovu prethodnog rezultata se dobija potrebna učestanost jediničnog pojačanja

$$\omega_u = \frac{1}{\tau} = \frac{1}{t_S} \left[X - 1 + \ln \left(\frac{1}{\epsilon_{d,tol}} X \right) \right]$$

- Za specificirano vreme t_S i dinamičku grešku $\epsilon_{d,tol}$, zahtevani propusni opseg je u funkciji promenljive X , odnosno g_m/I_D i feedback faktora β .
- Ove zavisnosti se ne mogu izvesti u zatvorenoj formi već u formi iterativnog algoritma. Osnovna ideja ovog algoritma je da se prepostavi $\beta <= \beta_{max}$ i da se potom izračunaju parametri g_m i C_{gs} . Potom se na osnovu njih izračuna nova vrednost β i tako dok se ne dobiju iste prepostavljene i izračunate vrednosti β

Algoritam:

1. Menjati β u for petlji od pretpostavljene do β_{\max}
2. Za svako β_K i vrednosti vektora g_m/ID u razumnom opsegu od slabe do jake inverzije izračunati vrednosti sledećih parametara kola

a)
$$C_{Ltot} = \frac{kT}{v_{od}^2} \frac{\gamma_n}{\beta}$$

b)
$$C_{Ftot} = \frac{C_{Ltot} - C_L}{1 - \beta}$$

c)
$$X = V_{od,final} \frac{\beta}{2} \frac{g_m}{I_D}$$

d)
$$\omega_u = \frac{1}{\tau} = \frac{1}{t_s} \left[X - 1 + \ln \left(\frac{1}{\epsilon_{d,tol}} X \right) \right]$$

e)
$$g_m = \frac{\omega_u C_{Ltot}}{\beta}$$

f) I_D i f_{Ti} koristeći g_m/I_D vektor

g) C_{gs} pomoću g_m i f_{Ti}

h) Izračunati novu vrednost β i uporediti je sa zadatom

3. Ukoliko se izračunata i postavljena vrednost poklapaju sa nekom unapred zadatom greškom, onda se pristupa fizičkom dizajnu

Primer:

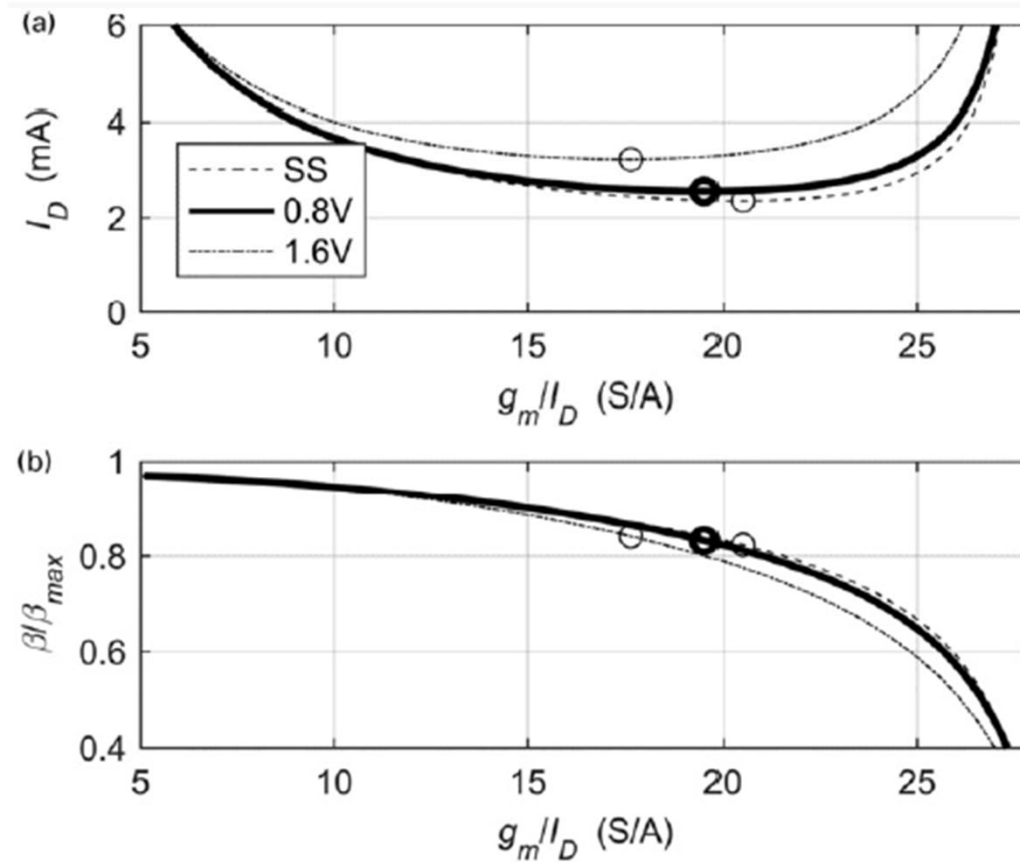
Dimenzionisati tranzistore u OTA tako da se dobije minimalna potrošnja za $ts=1.1\text{ns}$ (0.1% settling accuracy) i izlazni šum od $100\mu\text{Vrms}$. Smatrati da je $G=2$, $FO=CL/CS=1$, $L=100\text{nm}$ i $Vodfinal=10\text{mV}$ (small signal), 800mV i 1600mV . Dimenzionisati širinu kanala i sve kapacitivnosti za $Vodfinal=800\text{mV}$.

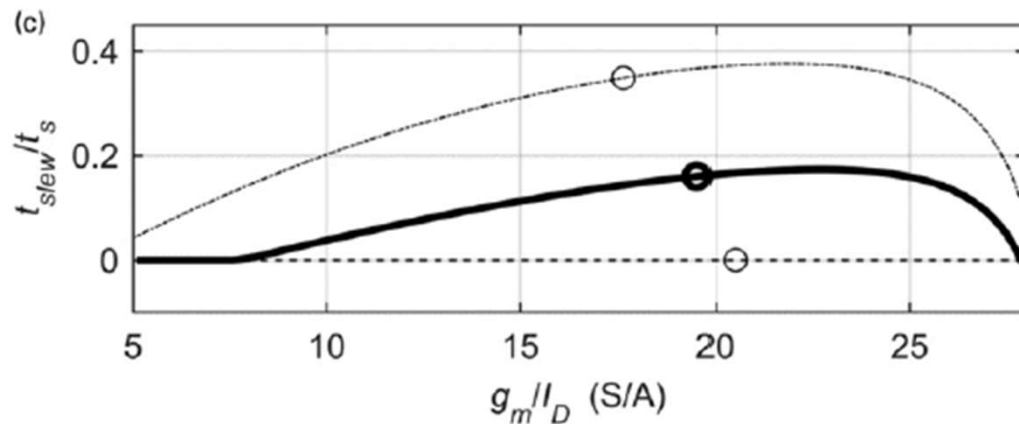
```
% Search parameters
vodfinal = [0.01 0.8 1.6];
gm_ID = (5:0.01:28)';
beta = (0.25*beta_max:0.001:beta_max)';
% pre-compute wti
wti = lookup(nch, 'GM_CGS', 'GM_ID', gm_ID, 'L', L);
for i = 1:length(vodfinal);
    for j = 1:length(beta)
        % compute CLtot based on noise
        CLtot = 2*kB*T*gamma./beta(j)/vod_noise^2;
        CFtot = CLtot./(CL_CFtot + 1-beta(j));
        % compute X and drain current
        X = vodfinal(i)*beta(j)./2*gm_ID;
        X(X<1) = 1;
        ID = CLtot/beta(j)./gm_ID/ts.* (X-1 - log(ed*X));
        % compute gm and Cgs
        gm = gm_ID.*ID;
        Cgs = gm./wti;
        % compute actual beta and find self-consistent point
        beta_actual = CFtot./(CFtot*(1+G) + Cgs);
        m = interp1(beta_actual,1:length(beta_actual),beta(j), 'nearest', 0);
```

```

if(m)
    gm_ID_valid(j,i) = gm_ID(m);
    ID_valid(j,i) = ID(m);
    X_valid(j,i) = X(m);
end
end

```





- Small signal slučaj očekivano zahteva minimalnu struju drejna
- Slučajevi sa slewingom zahtevaju veće struje drejna, a optimalna minimalna vrednost struje se dobija kada je g_m/I_D u oblasti jake inverzije
- Manji deo vremena uspostavljanja odlazi na SR, a veći na linearno vreme uspostavljanja, zahtevajući širi propusni opseg i veće f_T (manji g_m/I_D)
- Slewing time je 16% pri 800mV swingu i 32% pri 1600mV swingu (koji je nepraktičan pri napona napajanja od 1.2V)
- U optimalnoj tački pri $V_{OD,final} = 800$ mV parametri pojačavača su

$$gm_ID = 19.5500$$

$$\beta = 0.2773$$

$$ID = 0.0026$$

$$CL_{tot} = 2.0909e-12$$

$$W = 713.5175$$

$$CF_{tot} = 7.6796e-13$$

$$CS = 1.5359e-12$$

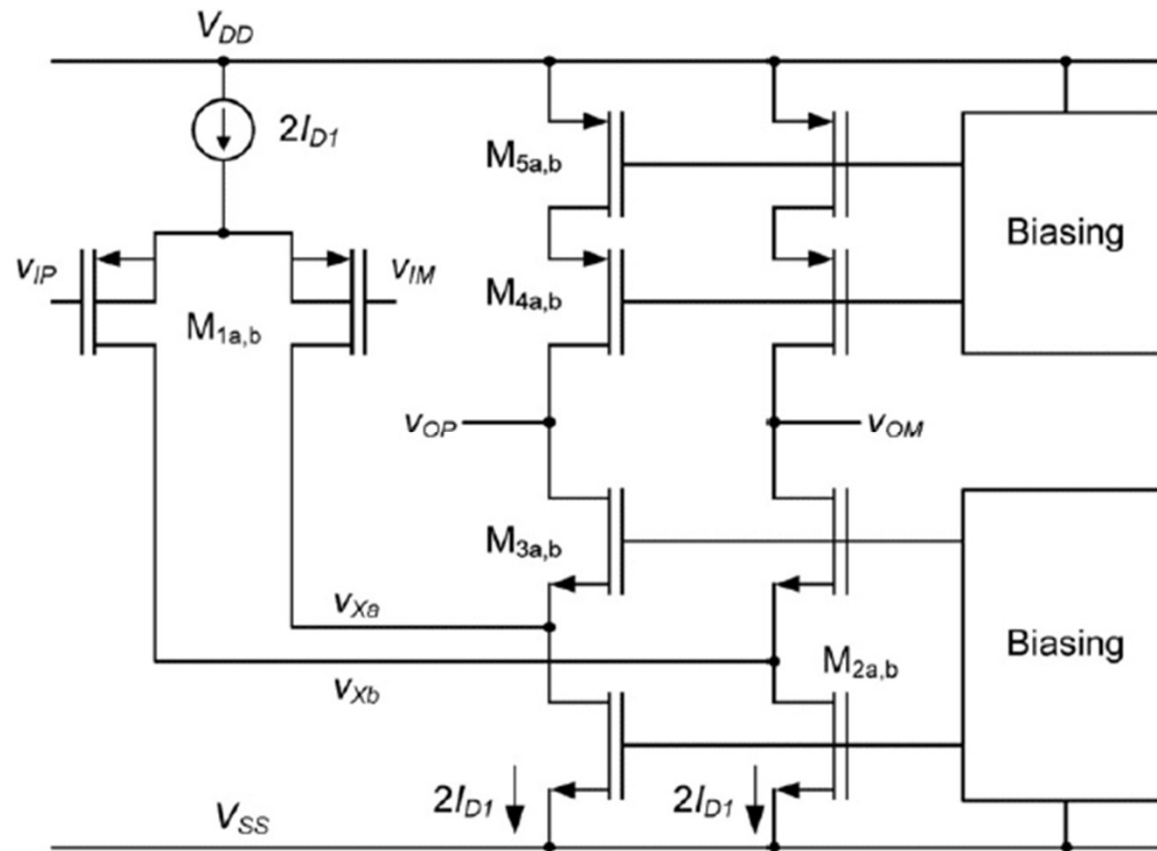
$$CL = 1.5359e-12$$

$$CF = 5.3203e-13$$

$$SR = 2.4488e+09, tslew = 1.7606e-10$$

- SR je manji nego što je projektovano i posledica je uticaja kapacitivnosti $C_{db,s}$ jedne strane, i provodjenja male struje tranzistora, koji je u modelu neprovodan.

Folded Cascode OTA za SC kola

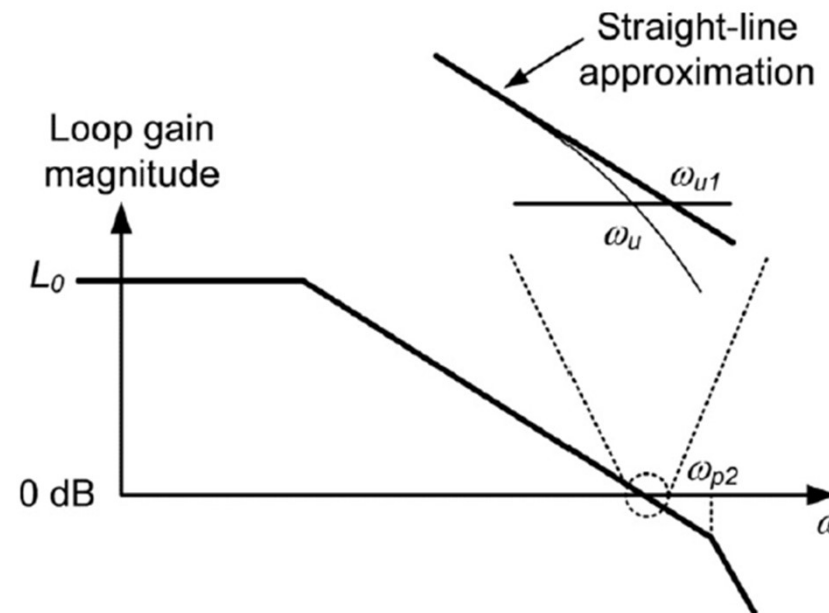


Dizajn:

- Najznačajnije odstupanje od osnovnog OTA je zbog nedominantnog pola u Folded Cascode pojačavaču

$$\omega_{p2} \approx \frac{g_{m3} + g_{mb3}}{C_{dd1} + C_{dd2} + C_{ss3}} \approx \frac{g_{m3} + g_{mb3}}{2C_{dd2} + C_{ss3}}$$

- Za veliku faznu marginu, nedominantni pol se obično postavlja iznad frekvencije jediničnog pojačanja



- Sa sekundarnim polom, funkcija prenosa u zatvorenoj sprezi može se napisati u obliku

$$A_{CL} = \frac{V_{od}}{V_{id}} = \frac{A_{CL0}}{1 + \frac{s}{\omega_0 Q} + \left(\frac{s}{\omega_0}\right)^2} \quad \omega_0 \cong \sqrt{\omega_{u1} \omega_{p2}}, Q = \sqrt{\frac{\omega_{u1}}{\omega_{p2}}}$$

ω_{p2}/ω_{u1}	Q	ω_u/ω_{u1}	PM (°)
1	1	0.786	51.8
2	0.707	0.910	65.5
3	0.577	0.953	72.4
4	0.5	0.972	76.3
5	0.477	0.981	78.9
6	0.408	0.987	80.7
7	0.378	0.990	81.9
8	0.354	0.992	82.9
9	0.333	0.994	83.7
10	0.316	0.995	84.3
∞	-	1	90

- Kada je $\omega_{p2}/\omega_{u1} = 4$ ($Q = 0.5$) u kolu je kritično prigušenje, a odziv je najbrži i bez premašaja (idealno za SC kola)
- Dizajn sa $\omega_{p2}/\omega_{u1} < 4$ se ne preporučuje iako nema premašaja zbog sporog odziva, dok je odnos $\omega_{p2}/\omega_{u1} > 4$ prihvatljiv, po cenu malih gubitaka u brzini uspostavljanja (ringing).
- Kada je $Q=0.5$, odziv na step funkciju je

$$V_{od}(t) = V_{od,final} \left(1 - \left(1 + \frac{2t}{\tau} \right) e^{-\frac{2t}{\tau}} \right) = V_{od,final} (1 - \varepsilon_d(t)), \quad \tau = \frac{1}{\omega_{u1}}$$

- Učestanost jediničnog pojačanja

$$\begin{aligned} \omega_{u1} &= \beta \frac{g_{m1}}{C_{Ltot}} \kappa \\ \kappa &\equiv \frac{g_{m3} + g_{mb3}}{g_{m3} + g_{mb3} + g_{ds1} + g_{ds2}} \equiv \frac{1}{1 + \frac{g_{ds1}}{g_{m1}} \frac{g_{m1}}{g_{m3} + g_{mb3}} + \frac{g_{ds2}}{g_{m2}} \frac{g_{m2}}{g_{m3} + g_{mb3}}} \\ \kappa &\equiv \frac{1}{1 + \frac{g_{ds1}}{g_{m1}} \frac{g_{m1}}{g_{m3}} + 2 \frac{g_{ds2}}{g_{m2}}} < 0.7, \quad g_{m2} = 2g_{m3} \quad (L_2 = L_3, W_2 = 2W_3) \end{aligned}$$

- Totalna kapacitivnost potrošača

$$C_{Ltot} = [C_L + (1 - \beta)C_F] (1 + r_{self}), \quad r_{self} = \frac{C_{dd3} + C_{dd4}}{C_L + (1 - \beta)C_F}$$

- Feedback faktor:

$$\beta = \frac{C_F}{C_F + C_S + C_{in}}$$

$$C_{in} = C_{gs1} + C_{gb1} + C_{gd1} \left(1 + \frac{g_{m1}}{g_{m3}} \right) = C_{gg1} + C_{gd1} \frac{g_{m1}}{g_{m3}}$$

- Maksimalna vrednost feedback faktora

$$\beta_{\max} = \frac{C_F}{C_F + C_S} = \frac{1}{1 + G}$$

$$\beta = \beta_{\max} \frac{1}{1 + \frac{C_{in}}{C_F + C_S}}$$

- LF loop gain

$$T_0 = \beta \kappa g_{m1} R_0, G_0 = \frac{1}{R_0} = \frac{g_{ds4}}{1 + \frac{g_{m4}}{g_{ds5}}} + \frac{g_{ds3}}{1 + \frac{g_{m3}}{g_{ds1} + g_{ds2}}}$$

- First-order approximation: svi tranzistori imaju isto g_m/I_D

$$g_{m1} = \frac{g_{m2}}{2} = g_{m3-5}, g_{ds1} \cong \frac{g_{ds2}}{2} \left(I_{D1} = \frac{I_{D2}}{2} \right)$$

$$\frac{1}{T_0} \cong \frac{1}{\beta \kappa} \left(\frac{1}{\left(1 + \frac{g_{m5}}{g_{ds5}} \right) g_{ds4}} + \frac{1}{\left(1 + \frac{1}{3} \frac{g_{m2}}{g_{ds2}} \right) g_{ds3}} \right)$$

- Totalni termički šum na izlazu pojačavača je:

$$\overline{v_{od}^2} = \frac{\alpha}{\beta} \frac{kT}{C_{Ltot}}$$

- Dodatni šum unose strujni izvori, a šum od kaskodnih tranzistora je zanemaren

$$\alpha = 2\gamma_1 \left(1 + \frac{\gamma_5}{\gamma_1} \frac{(g_m / I_D)_5}{(g_m / I_D)_1} + 2 \frac{\gamma_2}{\gamma_1} \frac{(g_m / I_D)_2}{(g_m / I_D)_1} \right)$$

Optimizaciona procedura:

- Kompleksnija je od prostog OTA
- Prvi korak je dizajn izlaznih tranzistora M_2 - M_5 koji se zasniva na vrednosti izlaznog swinga i na LF kružnom pojačanju T_0
- Sledeći korak je optimalne oblasti rada za ulazni diferencijalni par, kao kod prostog OTA
- Na kraju se kombinuju vrednosti prvog i drugog koraka i, ukoliko je potrebno, koriguju se dobijene vrednosti geometrija i kapacitivnosti

Dimenzionisanje izlaznih tranzistora FD Folded Cascode pojačavača

Primer:

Dimenzionisati oblast inverzije i dužine kanala izlaznih tranzistora M_2 - M_5 tako da peak-peak izlazni swing bude 0.8V, da T_0 bude veće od 50 pri $G=C_S/C_F=2$. Proceniti položaj nedominantnog pola.

$$CMFB: V_{OMQ} = V_{OPQ} = V_{DD} / 2 = 0.6V$$

$$V_{od,p-p} = 0.8V \Rightarrow V_{OM\max} = V_{OP\max} = V_{OMQ} + 0.2V$$

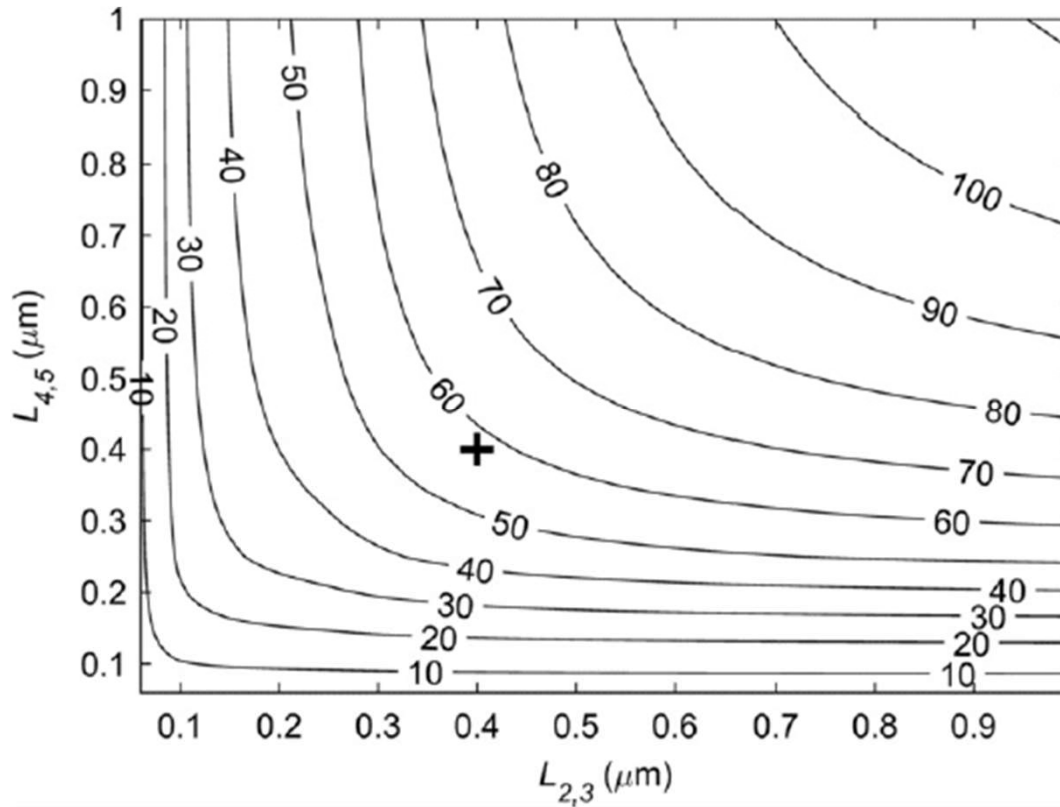
$$V_{od,p-p} = 0.8V \Rightarrow V_{OM\min} = V_{OP\min} = V_{OMQ} - 0.2V$$

$$V_{DSsat} \leq 0.2V \Rightarrow \left(g_m / I_D \right) \equiv \frac{2}{V_{DSsat}} \geq 10 \text{ S/A}$$

- S druge strane gm/ID treba da bude što manje da bi ω_T bilo što veće, odnosno ω_{p2} što dalje od učestanosti jediničnog pojačanja ω_{u1}
- Kompromisno ćemo za sve tranzistore u izlaznom stepenu uzeti da je $g_m/I_D = 15S/A$
- Jednostavnosti radi uzmimo da su dužine kanala svih izlaznih NMOS tranzistora iste $L_2=L_3=L_{2,3}$, isto kao i kod PMOS tranzistora $L_4 = L_5 = L_{4,5}$

% Design specifications and assumptions

```
G = 2;
beta_max = 1/(1+G);
beta = 0.75*beta_max; % first-order optimum
kappa = 0.7; % conservative estimate
gm_ID = 15;
% Channel length sweep
L = linspace(0.06, 1, 100); L23=L; L45=L;
gm_gds2 = lookup(nch, 'GM_GDS', 'GM_ID', gm_ID,'VDS', 0.2, 'L', L23);
gm_gds3 = lookup(nch, 'GM_GDS', 'GM_ID', gm_ID,'VDS', 0.4, 'L', L23);
gm_gds4 = lookup(pch, 'GM_GDS', 'GM_ID', gm_ID,'VDS', 0.4, 'L', L45);
gm_gds5 = lookup(pch, 'GM_GDS', 'GM_ID', gm_ID,'VDS', 0.2, 'L', L45);
```



- Za $T_0 > 50$, usvajamo $L_{2,3} = L_{4,5} = 0.4 \mu\text{m}$
- Sa ovim usvojenim vrednostima dužine kanala procenjujemo položaj nedominantnog pola

```

% Chosen length
L23 = 0.4;
% Resulting device parameters
gmb_gm3 = lookup(nch,'GMB_GM','GM_ID',gm_ID,'VDS',0.4,'VSB',0.2,'L', L23);
gm_css3 = lookup(nch,'GM_CSS','GM_ID',gm_ID,'VDS',0.4,'VSB',0.2, 'L',L23);
cdd_css3 = lookup(nch,'CDD_CSS','GM_ID',gm_ID,'VDS',0.4,'VSB',0.2,'L',L23);
cdd_w3 = lookup(nch,'CDD_CSS','GM_ID',gm_ID,'VDS',0.4,'VSB',0.2,'L',L23);
cdd_w2 = lookup(nch,'CDD_CSS','GM_ID',gm_ID,'VDS',0.2, 'L',L23);
% Nondominant pole frequency
fp2=1/2/pi*gm_css3*(1+gmb_gm3)/(1+2*cdd_css3*2*(cdd_w2/cdd_w3));

```

- Učestanost nedominantnog pola je

$$f_{p2} = 1.45 \text{ GHz}$$

- Kao što se da uočiti iz gornjeg primera, zahtevi za LF pojačanjem i izlaznim swingom postavljaju položaj nedominantnog pola.
- S obzirom da nam je potreban odnos $\omega_{p2}/\omega_{u1} \geq 4$, ovo takođe ograničava ω_{u1} i moguće vreme uspostavljanja (koje je obrnuto proporcionalno ω_{u1}).
- Za nastavak dizajna, prepostavljamo željeno vreme uspostavljanja, s ciljem minimiziranja snage disipacije u opsegu budžeta koji je određen za nivo šuma.

Dijagram toka za određivanje dimenzija tranzistora:

- Izračunati potrebnu ukupnu kapacitivnost, da bi se zadovoljila specifikacija po nivou šuma. Ovo takođe postavlja vrednosti kapacitivnosti u povratnoj sprezi za dato pojačanje u zatvorenoj petlji (G) i fan-out (FO = C_L / C_S).

$$C_{L_{tot}} = \frac{\alpha}{\beta} \frac{kT}{v_{od}^2} = \frac{2\gamma_1}{\beta} \frac{kT}{v_{od}^2} \left(1 + \frac{\gamma_5}{\gamma_1} \frac{(g_m/I_D)_5}{(g_m/I_D)_1} + 2 \frac{\gamma_2}{\gamma_1} \frac{(g_m/I_D)_2}{(g_m/I_D)_1} \right)$$

- Izračunati potrebnu vrednost g_{m1} za željenu učestanost jediničnog pojačanja ω_{u1}

$$g_{m1} = \frac{\omega_{u1}}{\kappa\beta} C_{L_{tot}} = \frac{\omega_{u1}}{\beta} C_{L_{tot}} \left(1 + \frac{g_{ds1}}{g_{m1}} \frac{g_{m1}}{g_{m3}} + 2 \frac{g_{ds2}}{g_{m2}} \right)$$

- S obzirom na vrednost za $(g_m/I_D)_1$, sada možemo izračunati struju I_{D1} . Ovo fiksira sve struje i širine kanala tranzistora u kolu, jer smo već izabrali vrednosti g_m/I_D za kaskodni stek.

- Početna vrednost $\beta/\beta_{max} = 0.75$ je dobra aproksimacija koja daje približno minimalnu vrednost polarizacione struje
- Disipacija u kolu ima veći težinski faktor u zahtevima od šuma

Algoritam:

1. Postaviti $r_{self}=0$ (početna iteracija zanemarivanje uticaja r_{self})
2. Menjati β u for petlji od pretpostavljene do β_{max}
3. Za svako β_K i vrednosti vektora g_m/I_D u razumnom opsegu od slabe do jake inverzije izračunati vrednosti sledećih parametara kola

$$a) \quad \alpha = 2\gamma_1 \left(1 + \frac{\gamma_5}{\gamma_1} \frac{(g_m / I_D)_5}{(g_m / I_D)_1} + 2 \frac{\gamma_2}{\gamma_1} \frac{(g_m / I_D)_2}{(g_m / I_D)_1} \right)$$

$$b) \quad C_{Ltot} = \frac{kT}{v_{od}^2} \gamma_n \frac{\alpha}{\beta}$$

$$c) \quad \kappa \equiv \frac{1}{1 + \frac{g_{ds1}}{g_{m1}} \frac{g_{m1}}{g_{m3}} + 2 \frac{g_{ds2}}{g_{m2}}}$$

$$d) \quad g_{m1} = \frac{\omega_{u1} C_{Ltot}}{\kappa \beta}$$

e) I_{D1} i f_{Ti} koristeći g_m/I_D vektor

f) C_{gg1} pomoću g_m i f_{Ti}

$$C_{in} = C_{gs1} + C_{gb1} + C_{gd1} \left(1 + \frac{g_{m1}}{g_{m3}} \right) = C_{gg1} + C_{gd1} \frac{g_{m1}}{g_{m3}}$$

g) Evaluacija vrednosti β

$$\beta = \frac{C_F}{C_F + C_S + C_{in}}$$

4. Ukoliko se izračunata i postavljena vrednost poklapaju sa nekom unapred zadatom greškom, onda se pristupa fizičkom dizajnu
5. Proceniti uticaj konstante r_{self} i ako je značajan vratiti se na korak 2 i ponoviti sva izračunavanja. Ovaj postupak je iterativan dok se ne dobije potpuno poklapanje rezultata.

Optimizacija Folded-Cascode OTA

Primer:

Odrediti optimalnu vrednost nivoa inverzije ulaznog diferencijalnog para tranzistora. Dizajn uraditi tako da za 0.1% grešku bude $t_s=5\text{ns}$, totalni izlazni šum bude $400\mu\text{Vrms}$, $G=2$ i $\text{FO}=0.5$. Proračun započeti potrebnom vrednošću jedinične učestanosti i fazne margine, a u obzir uzeti dužine kanala od 100, 200, 300 i 400 nm. Smatrati da je $\gamma = 0.7$ za sve tranzistore.

Koristićemo MATLAB program a rezultati će biti zapisani u strukturi sa oznakom "s"

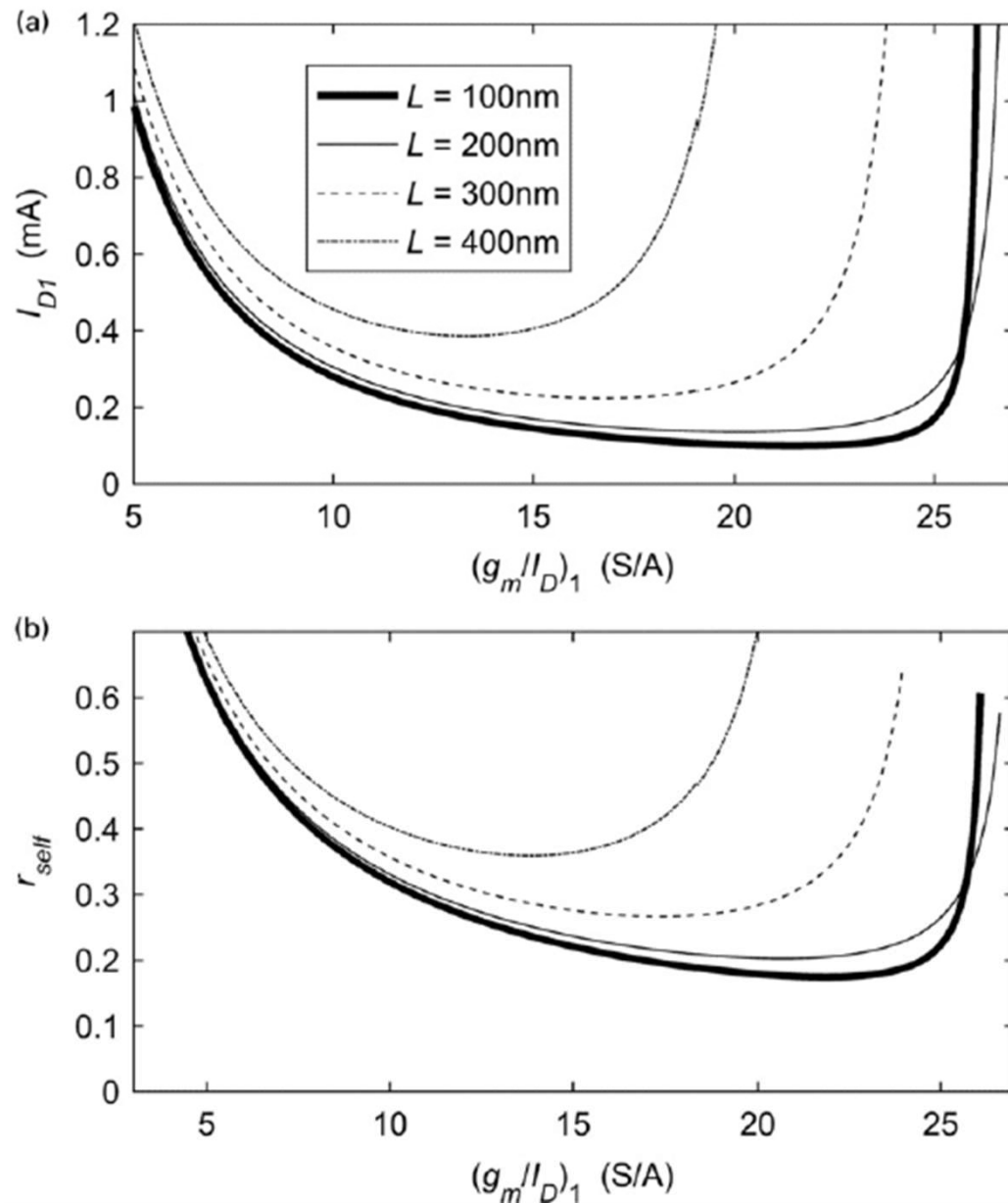
```
% Compute required unity gain frequency
s.ts = 5e-9;
s.ed = 0.1e-2;
s.fu1 = 1/2/pi * log(1/s.ed)/s.ts
```

$$f_{u1} = 220 \text{ MHz} \Rightarrow \frac{f_{p2}}{f_{u1}} = 6.6 \Rightarrow PM \approx 81^\circ$$

$r_{self} = 0$

% Parameter setup

```
L1 = [0.1 0.2 0.3 0.4];
d.rself = 0;
d.gm_ID1 = (3:0.01:27)';
d.beta = beta_max*(0.2:0.001:1);
% Channel length sweep
for i = 1: length(L1)
    d.L1 = L1(i);
    [m1(i) p(i)] = folded_cascode(pch, nch, s, d);
end
```



Ispod $L=200\text{nm}$ mali je uticaj dužine kanala i zato ćemo usvojiti $L=200\text{nm}$.

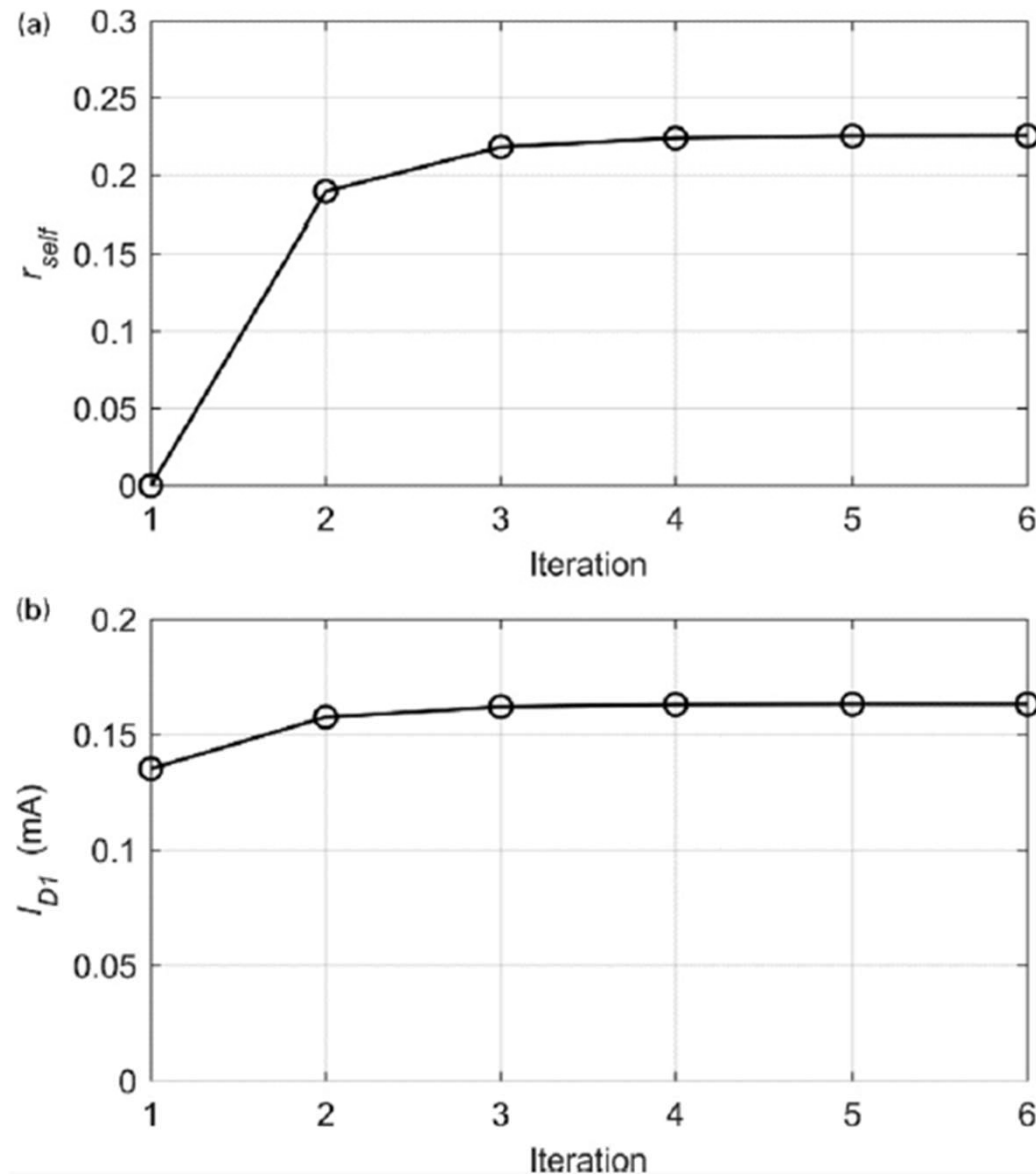
Za velike dužine kanal self-loading kapacitivnosti iznose 40% od $C_{L\text{tot}}$.

Potrebno je još iterativno uključiti uticaj parametra r_{self}

```

% Search parameter setup
d.L1=0.2;
rself = zeros(1,6);
d.gm_ID1 = (5:0.01:27)';
d.beta = beta_max*(0.2:0.001:1)';
% Self-loading sweep
for i = 1:length(rself)
d.rself = rself(i);
[m1 p] = folded_cascode(pch, nch, s, d);
% Find minimum current point and record
parameters
[ID1(i) m] = min(m1.ID);
gm_ID1(i) = m1.gm_ID(m);
cltot(i) = p.cltot(m);
beta(i) = d.beta(m);
% Use actual self-loading at optimum as guess
for next iteration
rself(i+1) = p.rself(m);
end

```



- Finalne vrednosti pri dizajnu su : $(g_m/I_D)_1 = 18.7 \text{ S/A}$, $I_{D1}=163 \mu\text{A}$, $\beta/\beta_{\max}=0.728$, $C_{L\text{tot}}=508 \text{ fF}$ i $r_{self} = 0.23$

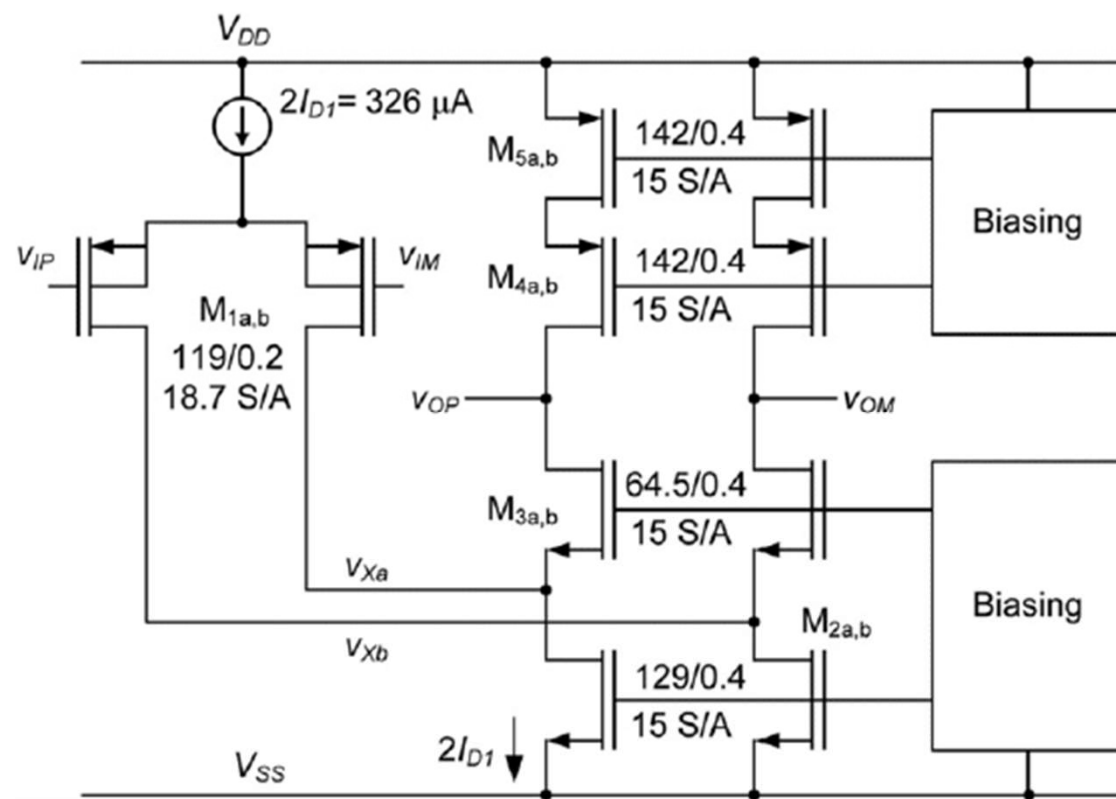
```

ID_W1 = lookup(pch, 'ID_W', 'GM_ID', gm_ID1_opt,'L', d.L1);
ID_W2 = lookup(nch, 'ID_W', 'GM_ID', d.gm_IDcas,'L', d.Lcas, 'VDS', 0.2);
ID_W5 = lookup(pch, 'ID_W', 'GM_ID', d.gm_IDcas,'L', d.Lcas, 'VDS', 0.2);
W1 = ID1_opt/ID_W1;
W2 = 2*ID1_opt/ID_W2;
W3 = W2/2;
W5 = ID1_opt/ID_W5;
W4 = W5;
CF = CLtot./(s.FO*s.G + 1-beta_opt)/(1+rself);
CS = s.G*CF;
CL = s.FO*CS;

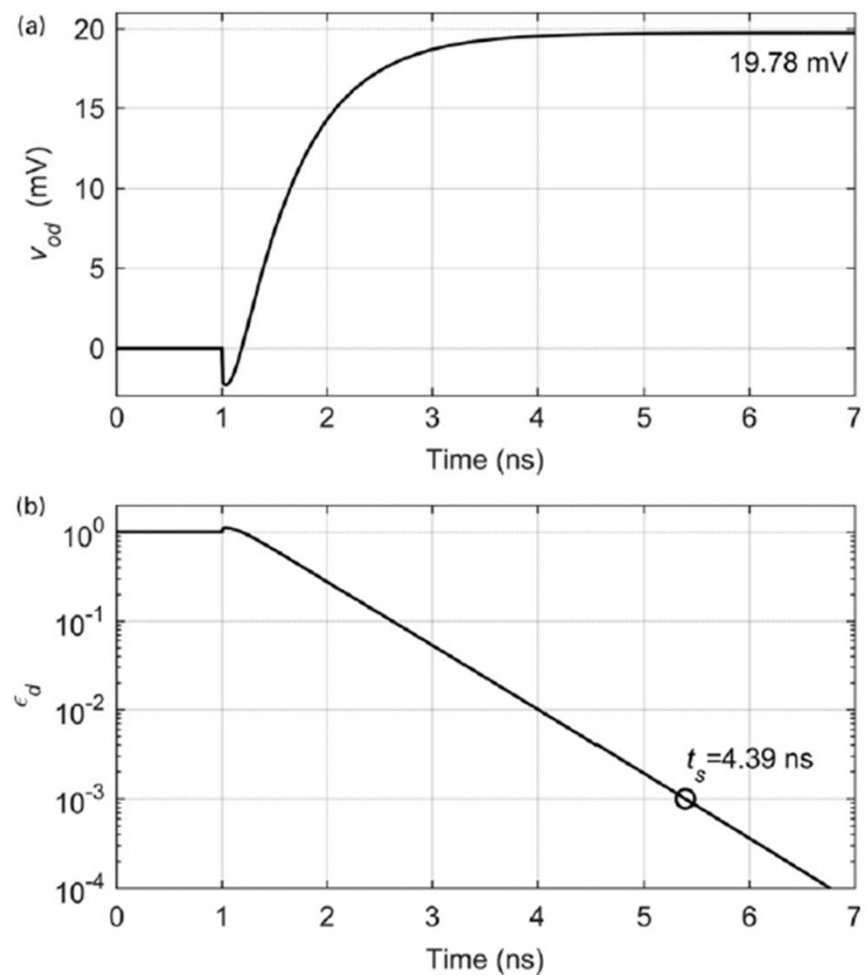
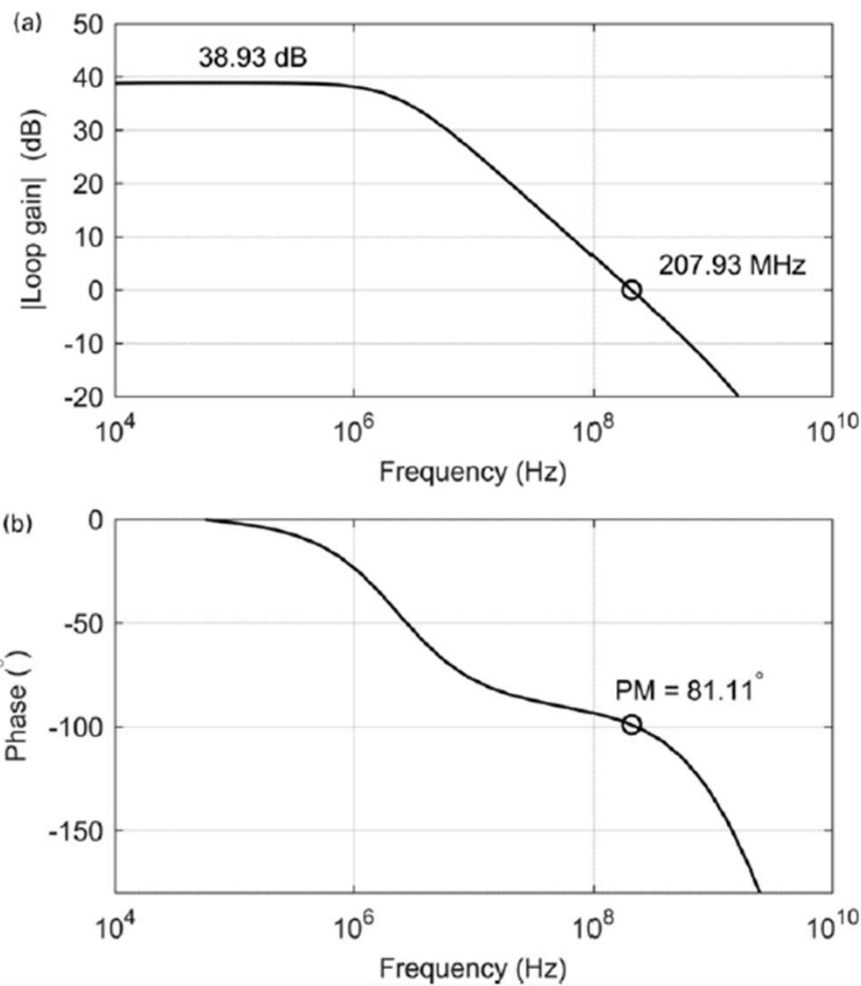
```

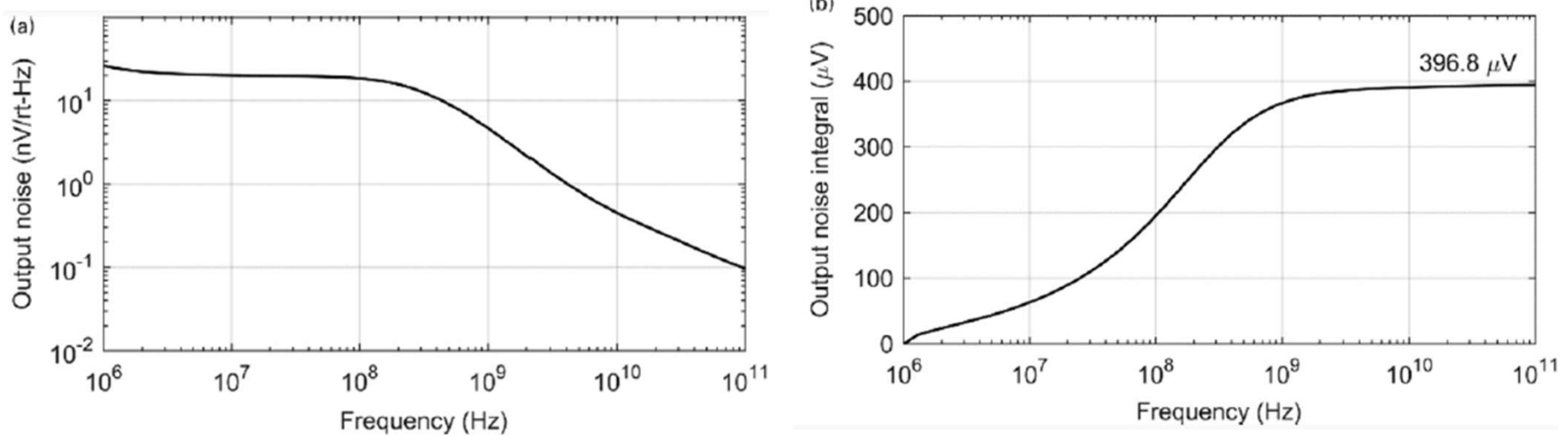
Konačne vrednosti kapacitivnosti su: $C_F = 224 \text{ fF}$, $C_S = 448 \text{ fF}$ i $C_L = 224 \text{ fF}$

Dimenziije tranzistora prikazane su na sledećoj slici



Simulacije:





Optimizacija FD Folded-Cascode SC pojačavača sa uticajem SR

$$SR = \frac{dV_{od}}{dt} = \frac{2\kappa I_{D1}}{C_{Ltot}}$$

$$C_{Ltot} = \frac{\beta g_m \kappa}{\omega_{u1}} \Rightarrow SR = \frac{2I_{D1}}{\tau \beta g_m}$$

$$\omega_{u1} = \frac{1}{\tau} = \frac{1}{t_s} \left[X - 1 + \ln \left(\frac{1}{\epsilon_{d,tol}} X \right) \right] \quad X = V_{od,final} \frac{\beta}{2} \left(\frac{g_m}{I_D} \right)_1$$

- Isti algoritam se primenjuje kao i kod prostog OTA